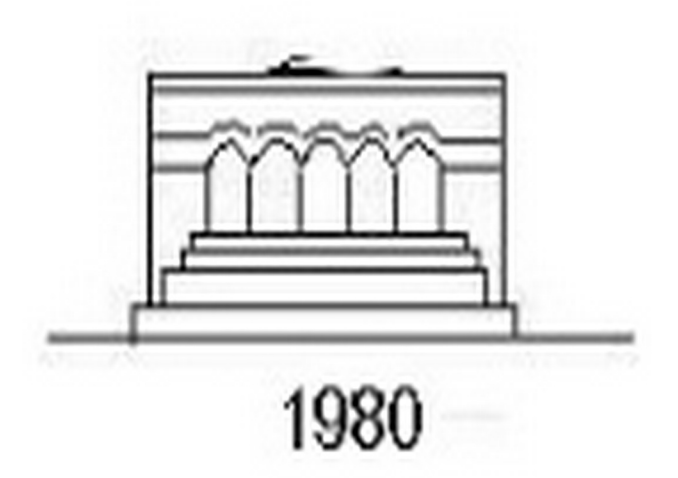
ՄԵԽԱՆԻԿԱ

МЕХАНИКА

MECHANICS



А. М. СИМОНЯН

О НЕКОТОРЫХ ВОПРОСАХ ОДНООСНОЙ ПОЛЗУЧЕСТИ МЕТАЛЛОВ

В настоящей работе рассматриваются некоторые возможности описаиля кривых ползучести при различных программах изменений напряжеинй в применении к металлическим материалам. Проводимое исследование
имеет обзорный характер и основано из построении аналитических аппроксимаций деформации ползучести при постоянных напряжениях и температурах и на обобщении этих аппроксимации на случаи переменных напряжений при использовании тех или пиых теоретических предпосылок.

1. Сводка некоторых аппроксимаций, применяемых для аписания ползучести металлов при постоянных напряжениях

Для описания 1 стадии ползучести обычно используются следующие аппроксимации:

$$\varepsilon_c(t) - at^m, \quad 0 < m < 1 \quad [1, 2]$$
 (1.1)

$$s_c(t) = C(1 - e^{-t})$$
 [3]

$$\epsilon_{a}(t) = -C\beta \int_{0}^{t} \partial_{a}(\beta, z) dz, \quad \beta < 0 \quad [4]$$
 (1.3)

где Э, (3, т) и ее интеграл протабулированы в [5],

$$\varepsilon_{\epsilon}(t) = \gamma \ln \left(1 + \gamma_{\epsilon} t\right) \quad [6] \tag{1.4}$$

Для описания кривых ползучести с возрастающей скоростью используются

$$\epsilon_c(t) = C \left[1 - \frac{\pi}{1} \ \overline{1 - \alpha t} \ | \ [8, 9] \right]$$
 (1.5)

$$\mathbf{z}_{c}(t) = Ct^{3} \quad [10] \tag{1.6}$$

Для описания первой и третьей стадий ползучести использовалась формула [11]

$$\varepsilon_c(t) = \alpha \left(C - \ln t \right)^{-1/n} \tag{1.7}$$

Для описания первых двух стадий полоучести к вышеприведенным анпроксимациям достаточно добавить член αt , однако при этом может возникиуть трудность обобщения полученных аппроксимаций на случай переменных наприжений: в этом смысле иногда удобно использовать [12]

$$\varepsilon_{c}(t) = \frac{\beta}{\ln\left(1 + \frac{\beta\gamma}{\alpha}\right)} \ln\left[\left(1 + \frac{\beta\gamma}{\alpha}\right)^{1 + \frac{\alpha t}{\beta}} - \frac{\beta\gamma}{\alpha}\right]$$
(1.8)

для которой имеют место $\frac{\partial}{\partial t}\Big|_{t=0} = \alpha - \beta \tau$, $\frac{\partial}{\partial t}\Big|_{t=0} = 2$, причем асимптота пересекает ось ординат и точке α . Более сложные аналитические соотношения, не пояноляющие записать выражение для α (α) в явном виде, рассмотрены в пункте α .

2. О полвичести металлов при переменных напряжениях

Для обобщения аппроксимаций ползучести на случаи переменных напряжений используются различные теоретические предпосылки.

Большое распространение получила гипотеза уравнения состояния в форме Людвика [1]

$$\Phi\left(\frac{\partial z_c}{\partial t}, z, z_c\right) = 0 \tag{2.1}$$

согласно которой скорость деформации определяется значениями напряжения и деформации в рассматриваемый момент.

Иногда используется более конкретный вид (2.1):

$$\frac{d}{dt} = F(z) \varphi(z_c) \tag{2.2}$$

В примененьи (2.1) к некоторым авпроксимациям пункта 1 получим: соответственно (1.1)

$$\frac{1}{m} = ma \, \epsilon_{\epsilon}^{\frac{m-1}{m}} \tag{2.3}$$

что при условии подобия или (2.2) дает

$$u(t) = \left[\int_{0}^{t} a^{m} dt \right]^{n} \tag{2.4}$$

соответственно (1.2)

$$\frac{\partial z_{\epsilon}}{\partial t} = 7(C - \epsilon) \tag{2.5}$$

что при условии подобия дает

$$\varepsilon_{c}(t) = \gamma \int_{0}^{t} C[z(\tau)]e^{-\gamma(t-\tau)} d\tau \qquad (2.6)$$

при условии (2.2) имели бы $C \neq j(\sigma)$ и, следовательно,

$$\varepsilon_{c}(t) = C \left\{ 1 - \exp \left[- \int_{0}^{t} \gamma \left[\sigma(\tau) \right] d\tau \right] \right\}$$
 (2.7)

последнее, однако, вряд ли имеет практический смысл, соответственно (1.4)

$$\frac{\partial s_c}{\partial t} = u r_i e \tag{2.8}$$

что при условии (2.2) дает % / ((б) и, следовательно.

$$= (t) = x \ln \left[1 + \int_{0}^{\infty} v_{t}[z(z)] dz \right]$$
 (2.9)

соответственно (1.5)

$$\frac{\partial \varepsilon_c}{\partial t} = \frac{C\alpha}{m} \left(1 - \frac{\varepsilon}{C} \right)^{1-m} \tag{2.10}$$

соответственно (1.6)

$$\mathbf{L} = \left\{ \int_{V}^{3} \overline{C[z(z)]} dz \right\}^{3} \tag{2.11}$$

соответственно (1.7)

$$\frac{o\varepsilon_c}{ot} = \frac{\lambda}{n} \left(- \right)^{1-n} \exp \left[\left(- \right) - C \right] \tag{2.12}$$

соответственно (1.8)

$$\frac{\partial \varepsilon_c}{\partial t} = \alpha + \beta \gamma \left(1 + \frac{\beta \gamma}{\alpha} \right)^{-\frac{\varepsilon_c}{\beta}} \tag{2.13}$$

Для соотношения (2.1) используются и другие более сложиме выражения Например, в работе [13] рассматривается выражение

$$\frac{\partial z_{\nu}}{\partial t} = A(z) \left(z_{0} + z_{\nu}\right)^{-n} \exp\left(az_{\nu}\right) \tag{2.14}$$

где E₀ — пластическая деформация, п и а — постоянные, в работе [14]

$$\frac{\partial z_{\epsilon}}{\partial t} = \left(B_0 - B_1 \operatorname{th} \frac{z_{\epsilon}}{\beta z_{\epsilon}}\right) \sigma^n \tag{2.15}$$

где ε , — упругая деформация, B_0 , B_1 , β и n — постоянные, и работе [15]

$$\frac{dk_c}{dt} = m\varepsilon^{1-\alpha} \exp\left[a\varepsilon\left(1 + k\varepsilon_c\right)\right] \tag{2.16}$$

Согласно (2.1), обратная ползучесть при разгрузке в общем не предкказывается. Однако, если деформации ползучести затухающие и ограниченные, то обратная ползучесть может предсказываться, как это имеет место, например, в (2.6).

Большое распространение получила и наследствениам теория [3, 4], что определяется относительной простотой использования ее при решении задач механики. Уравнение наследственности, как выведенное на основе принципа наложения деформаций, запишем в виде

$$z_{\varepsilon}(t) = -\int_{0}^{\infty} \frac{\partial C[\varepsilon(t), t-0]}{\partial \theta} \Big|_{\theta=0}$$
 (2.17)

где $C(\sigma, t)$ представляет собой аппроксимацию кривой ползучести при постоянном напряжении σ . В случае подобия кривых ползучести уравнение (2.17) запишется так:

$$\varepsilon_{c}(t) = -\int_{0}^{t} z\left[\tau(\tau)\right] \frac{\partial \varphi(t-\tau)}{\partial \tau} d\tau \qquad (2.18)$$

Запишем аналитические выражения для деформаций ползучести в применении наследственной геории к приведенным в пункте 1 аппроксимациям при удовлетворении условия подобия. Соответственно (1.1) будем иметь

$$\varepsilon_{c}(t) = m \int_{0}^{t} \alpha \left[\varepsilon(\tau) \right] (t-\tau)^{m-1} d\tau \qquad (2.19)$$

соответственно (1.2)

$$s_{e}(t) = \gamma \int_{-\infty}^{\infty} C\left\{z\left(z\right)\right\} e^{-\gamma(t-z)} dz \qquad (2.20)$$

соответственно (1.3)

$$\varepsilon_{c}(t) = -\beta \int_{0}^{t} C[z(\tau)] \, \vartheta_{x}(\beta, t - \tau) \, d\tau \qquad (2.21)$$

соответственно (1.4)

$$\varepsilon_c(t) = \tau_i \int_0^t z[\tau(\tau)] \frac{d\tau}{1 + \eta(t - \tau)}$$
 (2.22)

Использование наследственной теории для аппроксимаций, описывающих деформации с возрастающей скоростью, приводит к усиливающейся памяти материала, что не имеет смысла. Отметим, что в случае

аппроксимации (1.3) гипотеза уравнения состояния (2.6) и наследствения теория (2.20) полностью совпадают в своих предсказаниях.

Согласно одному из вариантов кинетической теории [1], скорость ползучести определяется значениями действующего напряжения и работы напряжений на деформациях ползучести

$$\frac{\partial \epsilon_{\varepsilon}}{\partial t} = f\left(z, \int_{0}^{z_{\varepsilon}} z \, dz\right) \tag{2.23}$$

В применении к анпроженмациям пункта 1 получим соответственно (1.1)

$$\frac{d}{dt} = m\left[a\left(z\right)\right]^{m} \left[\frac{1}{z} \int_{0}^{z} z dz\right]$$
 (2.24)

воотнетственно (12)

$$\frac{\partial z_{\epsilon}}{\partial t} = \tau \left[C - \frac{1}{z} \int_{0}^{z_{\epsilon}} z dz \right]$$
 (2.25)

соответствению (1,4)

$$\frac{\partial \varepsilon_e}{\partial t} = \gamma_i x \exp\left[-\frac{1}{\varepsilon x} \int_0^{\varepsilon_e} \tau d\varepsilon\right]$$
 (2.26)

спответственно (1.5)

$$\frac{\partial L}{\partial t} = \frac{dC}{m} \left(1 - \frac{1}{Cz} \right)^{\frac{1}{z}} z dz \right)^{1-m} \tag{2.27}$$

соответственно (1.6)

$$\frac{\partial z_{\varepsilon}}{\partial t} = 3\sqrt[3]{C} \left(\frac{1}{z}\int_{0}^{z_{\varepsilon}}zdz\right)^{\frac{2}{3}} \tag{2.28}$$

соотнетственно (1.7)

$$\frac{\partial z_{\varepsilon}}{\partial t} = \frac{\alpha}{n} \left(\frac{1}{\alpha \sigma} \int_{0}^{\tau} \sigma ds \right)^{1+n} \exp \left[\left(\frac{1}{\alpha \sigma} \int_{0}^{\tau} \sigma ds \right)^{-n} - C \right]. \tag{2.29}$$

В работе [16] рассматривается наследственная теория, описынающая также и пластические деформации

$$\varpi(\varepsilon) = \sigma + \int_{0}^{\infty} K(t-\tau) \sigma(\tau) d\tau \qquad (2.30)$$

где $\varphi(z) := z$ описывает кривую мгновенного деформирования, а в качестве ядра использовано абелевское K(t-z) = k(t-z) , 0 < z < 1.

В работе [17] рассматривается кинетическое уравнение более сложного вида и описывающее I и III стадии ползучести

$$\frac{\partial \varepsilon_{c}}{\partial t} = A \varepsilon^{-1} \exp\left(\beta \varepsilon_{c}\right) \varepsilon^{k} \left[1 - (r+1)B \varepsilon^{-1}\omega\right]^{\frac{k}{r-1}} \tag{2.31}$$

где

$$d\omega = C_1 dz + C_2 dT + C_3 dt$$

Согласно геории Лагнеборга [18], построенной на дислокационных концепциях и описывающей первые две стадии ползучести, имеем систему уравнений

$$\frac{\partial \varepsilon_{\epsilon}}{\partial t} = a(z) \exp\left\{-3\left[1/\rho - 1/\rho_{0}(z)\right]\right\}$$

$$\frac{\partial \rho}{\partial t} = C\frac{\partial \varepsilon_{\epsilon}}{\partial t} - 2M\tau/2$$
(2.32)

которую можно использовать для описания кривых полаучести, лишь применяя шаговый метод. Это же свойство присуще и структурной теории [19], определяемой следующей системой уравнений:

$$\frac{\partial}{\partial t} = F(\sigma - \rho)$$

$$d\rho = A(\sigma - \rho, \sigma) d\sigma,$$
(2.33)

где F и A — акслериментально определяемых функции.

В работе [12] рассматривается видоизмененный вариант (2.33)

$$\frac{\partial z_{\alpha}}{\partial t} = B(z)(z-z)$$

$$dz = A(z)[z-z-zk(z)]dz$$
(2.34)

который можно записать в явной форме для случая ступенчатых возрастаний нагрузки, а при постоянном о вырождающейся в аппроксимацию вида (1.8).

При изучении ползучести монокристаллов использовалась система урапиений [7]

$$\frac{\partial \varepsilon_{c}}{\partial t} = \eta z \epsilon$$

$$\frac{\partial \omega}{\partial t} = \chi^{2}$$
(2.35)

где и п — функции от напряжения. При постоянном о система (2.35) вырождается в (1.4). При ступенчатых изменениях о система (2.35) интегрируется в явном виде [7].

В работе [11] использовалось соотношение

$$\ln\left(t\frac{\partial z}{\partial t}\right) = a + b \ln z \tag{2.36}$$

описывающее все стадии ползучести и обобщающее формулу (1.7) при $a = \ln \frac{2^{-n}}{n}$, b = n + 1.

Согласно эпергетической теории Соснина, подзучесть в третьей ста-

$$\frac{\partial A}{\partial t} = \frac{f(z)}{(A^* - A)^m}, \quad A = \int_0^t z \frac{\partial z}{\partial t} dt$$
 (2.37)

которые при лостоянном напряжении вырождаются в уравнение (1.6).

Для описания деформации ползучести в 111 стадни можно пользоваться моделью Работнова [8]

$$\frac{\partial z}{\partial t} = f(z, \omega), \quad \frac{\partial \omega}{\partial t} = \varphi(z, \omega) \tag{2.38}$$

где для f (s, w) и ф (s, w) используются выражения

$$f(\sigma, \omega) = b z^m (1 - \omega)^{-q}, \qquad z(\sigma, \omega) = C z^n (1 - \omega)^{-r}$$
 (2.39)

обобщающие при r+1>q анпроксимацию типа (1.6) на случей переменного напряжения.

В работе [10] для описания деформаций III стадии использовалось уравпение

$$\varepsilon_{\varepsilon}(t) = kz \int_{0}^{t} z^{\lambda}(z) \left[\int_{0}^{z} z^{\nu}(\xi) d\xi \right]^{a-1} dz \qquad (2.40)$$

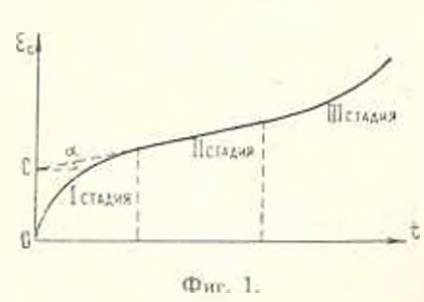
которое можно трактовать как разновидность (2.38), если положить $f(x, \omega) = akx^*\omega^*$, $\varphi(x, \omega) = x^*$.

3. О возможных рекомендациях для аналитического представления вкспериментальных данных о ползучести металлов

Признапая, что механизмы деформаций ползучести действуют, будучи связанными друг с другом, выскажем все же предположение, что для феноменологического описания деформации ползучести удобно разделять чти деформации на составляющие с убывающей, постоянной и возрастающей скоростью и не связывать друг с другом теоретические предпосылки для обобщения каждой из них на случаи переменных напряжений. На наш взгляд, введение связей между деформациями различных стадий было бы

оправдано, если обобщающие теории имели бы надежную физическую основу. Отмеченное касается уравнении (2.12), (2.14), (2.16), (2.29), (2.31) и (2.36), хотя, конечно, для ряда материалов ати уравнения могут оказаться и предпочтительными. С другой стороны, при раздельном аналитическом представлении составляющих деформации с убывающей, постоянной и возрастающей скоростями, оказывается возможным использовать более простые аппроксимации.

При отчетливом проявлении второй стадии ползучести разделение деформаций ползучести и их аппроксимация оказываются относительно простыми. На риг. 1 показана схематическая кривая ползучести с выраженной 2-й стадией. Продолжая прямую, описывающую участок кривой ползучести во второй стадии, до оси ординат, на последней отсекаем отрезок



C, предстанляющий собою предельное значение, к которому асимптотически устремляется затухающая составляющая ползучести ϵ_{C_1} . Аля описания первых двух стадий можиспользовать выражение

$$\varepsilon_{Cl} - \varepsilon_{Cll} = C(1 - e^{-it}) + it$$
 (3.1)

где — угол наклона кривой ползучести во второй стадии, а выбором γ можно изменять скорость устремления кривой z_{C1} к асимптоте $z_{C}=C$.

Останшуюся же часть полаучести, определяющую третью стадию, можно аппроксимировать с помощью (1.5), (1.6) или какой-пибудь еще более подходящей формулы. При этом, естественно, теоретическая кривая в первых двух стадиях будет проходить несколько выше экспериментальной, так как аппроксимации $^{2}c_{11}$ псегда дадут некоторый вклад в общую деформацию и н первых двух стадиях. Возникающее расхождение может быть откорректировано путем некоторого уменьшения 2 .

Аналогичная методика может быть сохранена и для случаев, когда вторая стадия ползучести выражена слабо, хотя при этом затрудияется выбор и—угла наклона прямой, отсекающей отрезок С на оси ординат.

В тех же случаях, когда первая или третья стадии ползучести не проявдяются или деформациями одной из них можно пренебречь, вопрос выбора аппроксимаций, естественно, упрощается, так как можно выбрать готовую аппроксимацию, в частности, из (1.1)—(1.8).

Для яыбора той или иной геории, обобщающей анпроксимацию ползучести на случаи переменных напряжений, ниже рассмотрим некоторые свойства, присущие ураннениям пункта 2 и относительно легко проверяемые акспериментальным путем для изучаемого материала.

К числу таких свойств отнесем свойство обратной ползучести, преемственность и нопрос о коммутативности ползучести.

Из рассмотренных и лункте 2 уравнений обратная полоучесть (то есть деформации, протекающие со скоростью обратного знака предшествующе-

му папряжению, после разгрузки, иначе называемые высоковластической ползучестью) предсказывается уравнениями (2.6), (2.19)—(2.22), (2.25), (2.30), а также в некоторых вариантах (2.33) и (2.34), когда для последних функция. І для нагружения и разгрузки берется различного вида. Однако для всех ядер уравнений геории наследственности, соответствую-

щих затухающен памяти (то есть удовлетворению условия $\lim \frac{C}{\partial t} = 0$

в общей форме (2.17) уравнения наследственности), носле полной разгрузки нее деформации, достигнутые согласно (2.17), являются полностью обратимыми. Действительно, принимая $\mathfrak{z}(t) = \mathfrak{z}_0$ const до некоторого момента t_0 и $\mathfrak{z}(t) = 0$ при

$$t_0 = -\int\limits_0^\infty \frac{\partial C\left(t_0, t_0 = t_0 \right)}{\partial t_0} d\tau = 0$$
 при любом конечном t_0 , независимо

от уровня ограниченности деформаций ползучести C(z, t). Это обстоятельство может быть использовано при выборе теории для обобщения соответствующей доли деформации на случаи переменных напряженний. Если экспериментально определенная обратная ползучесть отсутствует или очень мала, то это гонорит против использования наследственной теории.

Как показано, например, в [20] для первой стадин ползучести и в [21] для третьей стадии ползучести, скорость деформации ползучести при одном и том же напряжении и при одной и той же достигнутой деформации оказывается тем больше, чем при более низких напряжениях была достигнута ата деформация, свойство это названо «преемственностью». Приведем математическую формулировку [22].

Примем программу эксперимента

$$z(t) = \begin{cases} z_0 & 0 < t < t_0 \\ z & t > t_0 \end{cases} \qquad (z_0, t) = z_{0_t} = \text{const}$$
 (3.2)

Рассмотрим выражение

$$F_{1}(t) = F_{1}(z, \theta, t_{0}) = F_{2}(z, \theta, \tau_{0}); \quad \theta = t - t_{0}$$
(3.3)

где с помощью условия — const в F_2 — t_0 . Преемственность соблюдается, если

$$\frac{\partial F_1}{\partial t_0} > 0 \quad \text{или} \quad \frac{\partial F_2}{\partial z_0} < 0 \tag{3.4}$$

При использовании (2.1) и, следовательно, любого из урапнений (2.3) — (2.16) вместо условия (3.4) удовлетворяется равенство $\frac{\partial F}{\partial t_0} = 0$.

то есть пресмственность не соблюдается. Вопрос о соблюдении преемственности в общих уравнениях (2.17) и (2.18) записит от конкретного вида иходящих функций. После ряда опускаемых здесь выкладок можно полу-

чить, что преемственность соблюдается, согласно уравнениям (2.19) и (2.22), согласно же (2.20), преемственность не предсказывается.

Как показано в [22], согласно кинетической теории (2.23), преемственность предсказывается, если только функция / является убывающей по второму аргументу, то есть в первой стадии ползучести (уравнения (2.24)—(2.26)). Преемственность предсказывается и уравнением (2.30) в случае абслевского ядра.

Согласно уравнению (2.31), преемственность соблюдается, так как при одних и тех же текущих значениях о и в скорость ползучести и здесь тем больше, чем при меньшем напряжения и при большей длительности ползучести при о, то есть при большем значении ю, была получена эта деформация в.

Преемственность соблюдается согласно (2.32), (2.34) и (2.35), а также (2.33) при выполнении условия $\frac{d}{dz} > 0$, (2.38) нкупе с (2.39) при условии m > n и (2.40) при условии n > n.

Пресмственность не соблюдается, согласно (2.36), так как

$$\frac{\partial F_1}{\partial t_0} = -\frac{e^{ab}}{t_0(t_0 + b)} z_0^b < 0$$

а также согласно (2.37) [22].

В работе [23] рассмотрен так называемый коммутативный закон ползучести, согласно которому накопленные деформации после ряда последовательных приложений напряжений не зависят от порядка, в котором прикладывались напряжения. Как показали экспериментальные дянные, например, в работах [20, 24], а также и приведенные в гой же работе [23], имеют место систематические отклонения от этого закона, причем общая деформация ползучести оказывается большей в том случае, когда на последней ступени нагрузка оказывается большей (имеется в виду одноступенчатое изменение напряжения).

Рассмотрим следующие две программы изменения напряжения:

1)
$$\sigma(t) = \begin{cases} \sigma_1 & 0 < t < t_0 \\ \sigma_2 & t_0 < t < 2t_0 \end{cases}$$

$$\sigma(t) = \begin{cases} \sigma_2 & 0 < t < t_0 \\ \sigma_1 & t_0 < t < 2t_0 \end{cases}$$

$$\sigma(t) = \begin{cases} \sigma_1 & 0 < t < t_0 \\ \sigma_1 & t_0 < t < 2t_0 \end{cases}$$
(3.5)

Обозначая через деформации ползучести, соответствующие первой программе, а через — второй программе, положим, что при положительности $\epsilon_{i,j}(2l_0) = (2l_0)$ имеет место «нормальное» нарушение коммутативности ползучести, а при его отрицательности — «обратное» нарушение коммутативности ползучести [22].

Согласно общему уравнению ползучести (2.2), как это показано в [23], предсказывается коммутативный закон, то есть отрицается нарушение коммутативности пообще. Этот выпод касается уравнений (2.4), (2.7),

(2.9), (2.11), (2.14), (2.15), а также (2.10) при независимости C и m от напряжения (2.13) при независимости $\frac{2}{2}$ от напряжения и (2.16) при k=0.

Как показано в [22], для наследственной теории (2.18) с затухающей памятью, а следовательно, и для уравнений (2.19)—(2.22), соблюдается нормальное нарушение коммутативности ползучести.

Согласно кинетической теории (2.23) в форме (2.24) нормальное нарушение коммутативности имеет место при M < 1, то есть при загухающей ползучести [22].

Согласно (2.25) имеем

$$(2t_0) = (2t_0) = \left(C_2 \frac{\sigma_2}{\sigma_2} - C_1 - \left(1 - e^{-\tau t}\right) \left(1 - e^{-\tau t}\right)\right) > 0$$
 (3.6)

то есть соблюдается пормальное нарушение коммутативности. Согласно (2.25) имеем

$$\varepsilon_{c_{1}}(2t_{0}) - \varepsilon_{c_{1}}(2t_{0}) = \ln \frac{\left\{1 + \frac{\tau_{i2}t_{0}}{1 + \frac{\tau_{i2}t_{0}}{1 + \tau_{i1}t_{0}}} \left[(1 + \tau_{i1}t_{0})^{\frac{\tau_{i1}\tau_{i}}{1 - \tau_{i1}}} - 1 \right] \right\}^{\tau_{i}}}{\left\{1 + \frac{\tau_{i1}t_{0}}{1 + \tau_{i1}\tau_{0}} \left[(1 + \tau_{i2}t_{0})^{\frac{\tau_{i}\tau_{i}}{1 - \tau_{i1}}} - 1 \right] \right\}^{\tau_{i}}} > 0$$
 (3.7)

так как и 1), естественно, являются возрастающими функциями от о. Согласно (2.28), ямеем

$$\varepsilon_{e_1}(2t_0) = \varepsilon_{e_2}(2t_0) = C_1 t_0^3 \left(1 - \frac{s_1}{s_2}\right) \left[1 + \frac{C_{12}}{C_{12}} - \left(1 - \frac{s_2}{C_{12}}\right)^3\right] < 0$$
(3.8)

то есть имеет место обратное нарушение коммутативности.

Согласно (2.30), имеем

$$\epsilon_{c_1}(2t_0) \leftarrow \{2t_0\} = F\left\{z_2 + \frac{1}{1-z}t_0^{1-z}[z_2 + z_1(2^{1-z} - 1)]\right\} - F\left\{z_1 + \frac{1}{1-z}t_0^{1-z}[z_3 + z_2(2^{1-z} - 1)]\right\} > 0$$
(3.9)

где F — обратная функция функции q, откуда заключаем о нормальном нарушении коммутативности. Согласно теории (2.32) при условии $p_*(\sigma) = 0$, предсказывается обратное нарушение коммутативности [22].

Нормальное нарушение коммутативности предсказывается согласно (2.35), так мах

$$\varepsilon_{c_1}(2t_0) - \varepsilon_{c_2}(2t_0) = \kappa_2 \ln \left[1 - \gamma_{i_1}t_0 + \gamma_{i_2}t_0 \exp\left(\frac{\kappa_1^{\nu-1} - \kappa_2^{\nu-1}}{\kappa_2^{\nu-1}}\right) \right] - \kappa_2 \ln \left[1 + \gamma_2 t_0 + \gamma_{i_1}t_0 \exp\left(\frac{\kappa_1^{\nu-1} - \kappa_2^{\nu-1}}{\kappa_1^{\nu-1}}\right) \right] > 0$$
(3.10)

поскольку и и х являются возрастающими функциями от напряжения.

Ураннение (2.36) вкупе с (1.7) соответствует нормальному нарушению коммутативности, например, при условиях

$$b = \text{const}, \quad \frac{\partial}{\partial z} \left[e^{z} \left(C + \ln 2 - \ln t_0 \right) \right] > 0$$
 (3.11)

Согласно (2.37), предсказывается обратное нарушение коммутативности [22]. Согласно (2.38) вкупс с (2.39) имеем

$$\varepsilon_{c_1}(2t_0) - \varepsilon_{c_2}(2t_0) = \frac{1}{C(r+1-q)} \left(z_1^{c_1-q} - z_1^{c_2-q} - z_1^{c_2-q}\right) \left\{1 + \left[1 - Cz_2^{c_2}(r+1)t_0 - Cz_1^{c_2-q}(r+1)t_0\right]^{\frac{1}{r-1}} - \left[1 - Cz_1^{c_2}(r+1)t_0\right]^{\frac{1}{r-1}} - \left[1 - Cz_2^{c_2-q}(r+1)t_0\right]^{\frac{1}{r-1}} \right\} > 0$$

$$(3.12)$$

при m > n, откуда заключаем о нормальном нарушении коммутатипрости. Такой же выпод имеет место, согласно (2.40), при условии $\lambda > v$ и $\alpha > 1$ [22].

4. Заключение

Выбор той или иной теории ползучести для исследуемого материала затруднен тем, что при некоторых ступенчатых изменениях напряжения предсказания по различным теориям порою различаются мало даже по сравнению с разбросом вкспериментальных кривых. В этом смысле целесообразным представляется ставить эксперименты для изучения обратной ползучести, а также, согласно программам (3.2) и (3.5), для проверки преемственности и коммутативности ползучести, так как в зависимости от полученных экспериментальных данных ряд уравнений ползучести может быть сразу отброшен из рассмотрения.

Приведенные выше обзор уравнений ползучести и их анализ, конечно, отнюдь не претендуют на полноту, однако мы рассчитываем, что они в некоторых случаях содействуют выбору уравнения одноосной ползучести при растяжении.

Институт механики АН Армянской ССР

Поступила 20 VI 1979

u. v. uivantaut

ՄԵՏԱՂՆԵՐԻ ՄԻԱՌԱՆՑՔԱՑԻՆ ՍՈՂՔԻ ՈՐՈՇ ՀԱՐՑԵՐԻ ՄԱՍԻՆ

Reducediand

Դիտարկվում են մետաղների սողջի գրանցման մեարավորու--թյունները լարումների փոփոխուկիսան մալիուման Վառուց վում են սողջի դեֆորմացիաների անալիտիկ մոտարկումները Հաստատուն յարումների պայմաններում, որոնք ընդՀանրացվում են փոփոխական լարումների Տամար տարբեր տեսությունների օգտագործումով։ Դիտարկվում են նաև նյութի մի ջանի Հատկությունները, որոնք փորձնական ստուդման են են-իարկվում և նրանը թույլ են տալիս դնահատել արված ընդՀանրացումները։

CERTAIN ASPECTS OF UNIAXIAL CREEP OF METALS

A. M. SIMONIAN

Summary

Certain possibilities to describe metal creep curves with different programmes of change in stresses are examined. The investigation is based on construction of analitical approximations of creep strains under constant stresses and temperatures as well as on generalizations of these approximations for the cases of variable stresses, using particular theories.

AHTEPATYPA

- 1. Работнов Ю. Н. Полаучесть влементов конструкции. М., Наука, 1966.
- 2. Качанов Л. М. Геория ползучести. М., Физматена, 1960.
- 3. Аругюнян Н. Х. Некоторые вопросы теарии ползучести. М., Гостентеориздат, 1952.
- 4. Работнов Ю. И Элементы инследственной механики твердых тел. М., Наука, 1977.
- 5. Работнов Ю. П., Паперник Л. Х., Заонов Е. Н. Тайлицы дробно-экспоненциальной функции отрицательных параметров и интеграла от нес. М. Наука, 1969.
- 6. Шоек Г. Теория польучести. Сборник «Ползучесть и попраст». М., Металлургиздат, 1961.
- 7. Симонян А. М. Исследования полоучести алюминиевых монокристаллов. Изв. АН АрмССР, Механика, 1979. г. ХХХИ, № 6.
- 8. Качанов Л. М. Основы мехацики разрушения. М.: Наука, 1974.
- Соенин О. В Энергетический вариант теории получести и длительной прочности. Получесть и разрушение неупрочияющихся материалов. Проблемы прочности. 1973. № 5.
- 10. Симонян А. М. Исследование полдучести стали X18H10T при Gольших деформациях. Проблемы прочности 1975, № 6.
- 11. Murry G. Contribution a l'etude de la forme des courhes de fluage des aciers "Rev. Met." (France), 1-70, 67, No. 10.
 - 12 Симония А. М. К вопросу о неизотермической ползучести хромо инкелевой стали. Изв. АН АрмССР, Механика, 1972, т. XXV, № 6.
 - Трунин И. И. Об одном варианте уравнения состояния при поллучести. «Деформирование и разрушение твердых тел». М., изд. МГУ, 1977.
- Стисенко И. В. Модифицированная формулировка теории упрочнения. Птв. ВУЗ-ов. Машиностроение, 1975, № 8.
- Лепин Г. Ф., Тихонов А. И., Горпиния В. Ф., Дубиния В. П., Осясюк В. В. К вопросу о полуучести металлов и спланов в условиях растяжения и сжатия при повышенных температурах. Проблемы прочности, 1969, № 3.
- Работнов Ю. Н., Суворова Ю. В. Наследственные эффекты при деформировании металлов Сб. «Успехи механики деформируемых сред». М., 114ука, 1975.

- 17. Киселений В. Н., Косов Б. Д. Уравнение состояния для процесса ползучести упрочияющегося материала. Проблемы прочиости. 1975, № 4.
- Lagneborg R. A Theoretical Approach to Creep Deformation During Intermittent Load. Trans. ASME, Series D, 1971, No. 2.
- Малинин Н. Н., Хажинский Г. М. К построению теорип полаучести с анизотропным упрочнением. МТТ, 1969. № 3.
- 20. Номестников В. С., Хвостинков А. А. Полоучесть ауралюмина при постоянных и переменных нагрузках. ПМТФ, 1960, № 4.
- Симонян А. М. Экспериментальное исследование преемственности при высокотем пературной трехстадийной полвучести хромо-инкелевой стали. Изп. АП АрмССР, Механика. 1978, т. XXXI, № 6.
- 22. Симонян А. М. О друх вопросах в одномерной теории подручести. Ивв. АН АрмССР, Мехапика. 1977. т. XXX, № 3.
- 23. Однацет Ф. Техинческие теории полаучести. «Механика», Св. переводов. 1959, 2.
- 24. Наместников В. С., Работнов Ю. Н. О гипотезе уравнения состояния при ползучести. ЖПМТФ, 1961, № 3.

Механика

Р. М. КИРАКОСЯН

ОБ УСТОЙЧИВОСТИ НЕУПРУГИХ КРУГЛЫХ ПЛИТ С УЧЕТОМ ВЛИЯНИЙ ДЕФОРМАЦИЙ ПОПЕРЕЧНЫХ СДВИГОВ

Устойчивости пластинок за пределами упругости материала в различных постановках посвящено много исследований ([1] [11] и др.). В настоящей статье в рамках теории малых упруго-пластических деформаций произвольно упрочняющегося материала [1] получается система дифференциальных уравнении устойчивости круглых плит с учетом влияний деформаций поперечных сдвигов [8]. В качестве приложения решается задача устойчивости сжатых в радиальном направлении шарнирно опертых и защемленных по контуру круглых плит при осесимметричной форме потери устойчивости. Подробно рассматривается случай идеяльной пластичности.

Аналогичная задача в рамках теорин течения впервые рассмотрена в работе [7].

1. Рассмотрим пластинку толщины h, отнесенную к системе цилиндрических координат r, θ , z. В качестве механических соотношений примем уравнения деформационной теории пластичности несжимаемого материала [1]

$$z_{i} - \frac{1}{2}z_{i} = \frac{z_{i}}{c_{i}}e_{ji}, \quad z_{i} - \frac{1}{2}z_{i} = \frac{z_{i}}{c_{i}}e_{b}, \quad z_{ii} = \frac{z_{i}}{3c_{i}}e_{ii}, \quad (1.1)$$

где 🖏 🐛 🦬 и е,, е,, е компоненты напряжения и деформаций,

$$e_{i} = \frac{2}{\sqrt{3}} \sqrt{\frac{s_{i} + s_{i} - 3^{-2}}{e_{i}^{2} + e_{i}e_{h} + a + \frac{1}{4}}}$$

$$(1.2)$$

— интенсивности касательных напряжений и деформаций сдвига.

Пусть в пластинке, которая деформирована за пределами упругости, реализовано безмоментное напряженное состояние

$$z_{\mu}, z_{\mu}, z_{\mu}$$
 (1.3)

При выпучивании напряжения в пластинке получают бесконечно малые приращения $\delta \sigma_{p1}$ $\delta \sigma_{6}$, $\delta \sigma_{p6}$, ———Принимается гипотеза непрерывного нагружения ([11], [12]), согласно которой искривление пластинки возможно в условнях возрастания нагрузки, обеспечивающих нагружение во

всех ее точках. Известно [5], что критические значения параметров, полученные по этой постановке, не будут отличаться от результатов, вытекающих из критерия равноактивной бифуркации, при котором неустойчивость за пределами упругости понимается как неустойчивость процесса деформирования. С помощью (1.1) для вариаций 45—45, и получим

$$\delta z_{r} = a_{11} \delta e_{r} + a_{12} \delta z_{8} + a_{13} \delta e_{r0}$$

$$\delta z_{8} = a_{22} \delta e_{9} + a_{12} \delta e_{r} + a_{23} \delta e_{r0}$$

$$a_{33} \delta e_{r0} + a_{13} \delta e_{r} - a_{33} \delta e_{r0}$$
(1.4)

где

$$a_{11} = \frac{1}{9e_{i}} \left| 3\tau_{i} + (2e_{r} + e_{i})^{2} \frac{d}{de_{i}} \left(\frac{\tau_{i}}{e_{i}} \right) \right|$$

$$a_{22} = \frac{4}{9e_{i}} \left| 3\tau_{i} + (2e_{6} + e_{r})^{2} \frac{d}{de_{i}} \left(\frac{\tau_{i}}{e_{i}} \right) \right|$$

$$a_{33} = \frac{1}{9e_{i}} \left| 3\tau_{i} + e_{r0}^{2} \frac{d}{de_{i}} \left(\frac{\tau_{i}}{e_{i}} \right) \right|$$

$$a_{12} = \left| 3\tau_{i} + 2\left(2e_{r} + \left(2e_{h} - e_{r}\right) \frac{d}{de_{i}} \right) \right|$$

$$a_{13} = \frac{1}{9e_{i}} e_{r0} \left(2e_{r} + \left(2e_{h} - e_{r}\right) \frac{d}{de_{i}} \right)$$

$$a_{23} = \frac{2}{9e_{i}} e_{r0} \left(2e_{r} + \left(2e_{h} - e_{r}\right) \frac{d}{de_{i}} \right)$$

$$a_{24} = \frac{2}{9e_{i}} e_{r0} \left(2e_{r} + \left(2e_{h} - e_{r}\right) \frac{d}{de_{i}} \right)$$

В условиях отсутствия поверхностимх нагрузок для тангенциальных напряжений по уточненной теория [8] имеем

где I(<) — функция, характеризующая закон изменения касательных напряжения по толщине гластинки, $\phi(t,0)$ и f(t,0) — искомые функции.

Здесь уточненная теория, учитывающая влияние деформаций поперечных сдвигов, применяется со всеми иляестивми условностями, как это лелается обычно, например, в задачах изгиба пластинок.

Связь между касательными напряжениями (1.6) и соответствующими деформациями поперечных сдвигов пластинки имеет вид [1]

$$\frac{1}{3e_i} = \frac{1}{3e_i} e_{rx^1} \qquad \frac{1}{3e_i} = \frac{1}{3e_i} e_{he} \qquad (1.7)$$

Пользуясь геометрическими соотношениями

$$e_{rs} = \frac{\partial \delta u_s}{\partial z} + \frac{\partial \delta u_s}{\partial r}, \quad e_{ts} = \frac{1}{r} \frac{\partial \delta u_s}{\partial s} + \frac{\partial \delta u_s}{\partial z}$$
 (1.8)

гле и, и, и — перемещения по направлению координатных липий г. в, х соответственно, с учетом (1.6) и (1.7) получим

$$\frac{\partial^2 u_r}{\partial z} = -\frac{\partial^2 u_z}{\partial r} + \frac{3e_1}{z} f(z) \approx (r, \theta)$$

$$\frac{\partial u_r}{\partial z} = -\frac{1}{r} \frac{\partial u_r}{\partial \theta} - \frac{3e_1}{z} f(z) \approx (r, \theta)$$
(1.9)

Пренебреган изменением нормальных перемещений по толщине и деформированием средниной плоскости (u=u=0), из (1.9) путем интегрирования по 2 находим

$$\delta u_i = -z \frac{\partial w}{\partial r} + \frac{3e_i}{z_i} \overline{f_0}(z) \mp (r, \theta)$$

$$\delta u_0 = -z \frac{1}{z_i} \frac{\partial w}{\partial r} + \frac{3e_i}{z_i} \overline{f_0}(z) \div (r, \theta)$$
(1.10)

3 Jecs

$$\overline{f}_0(z) = \int f(z) dz \tag{1.11}$$

ш - прогиб пластинки.

Используя геометрические соотношения, с учетом (1.10) для нариаций деформаций получим

$$\delta e_r = -z \frac{\partial^z w}{\partial r^z} + 3 \overline{f_0}(z) \frac{\partial}{\partial r} \left[\frac{e_i}{z_i} \varphi(r, \theta) \right]$$

$$\delta e_{\theta} = -\frac{z}{r} \left(\frac{\partial w}{\partial r} + \frac{1}{r} \frac{\partial^z w}{\partial \theta^z} \right) + \frac{3}{r} \overline{f_0}(z) \left[\frac{e_i}{z_i} \varphi(r, \theta) + \frac{\partial}{\partial \theta} \left(\frac{e_i}{z_i} \varphi(r, \theta) \right) \right]$$

$$\delta e_{r\theta} = -z \left[r \frac{\partial}{\partial r} \left(\frac{1}{r^z} \frac{\partial w}{\partial \theta} \right) + \frac{1}{r} \frac{\partial^z w}{\partial r \partial \theta} \right] +$$

$$+ 3 \overline{f_0}(z) \left[r \frac{\partial}{\partial r} \left[\frac{e_i}{r^z} \varphi(r, \theta) + \frac{1}{r} \frac{\partial}{\partial \theta} \left(\frac{e_i}{z_i} \varphi \right) \right] \right]$$
(1.12)

Висся (1.12) в (1.4) и присоединяя к ним (1.6), для приращений напряжений выпученной пластинки находим

$$\begin{split} \delta z_r &= -z \left\{ a_{11} \frac{\partial^2 w}{\partial r^2} + a_{12} \frac{1}{r} \left(\frac{\partial w}{\partial r} + \frac{1}{r} \frac{\partial^2 w}{\partial \theta^2} \right) + \right. \\ &\left. + a_{13} \left[r \frac{\partial}{\partial r} \left(\frac{1}{r^2} \frac{\partial w}{\partial \theta} \right) + \frac{1}{r} \frac{\partial^2 w}{\partial r \partial \theta} \right] \right\} + \end{split}$$

$$\tilde{a}_{\sigma_{\theta}} = -z \left\{ \frac{a_{22}}{r} \left(\frac{\partial w}{\partial r} + \frac{1}{r} \frac{\partial^{2}w}{\partial \theta^{2}} \right) + a_{12} \frac{\partial^{2}w}{\partial r^{2}} + \right. \\
+ a_{23} \left[r \frac{\partial}{\partial r} \left(\frac{1}{r^{2}} \frac{\partial w}{\partial \theta} \right) + \frac{1}{r} \frac{\partial^{2}w}{\partial r \partial \theta} \right] \right\} + \\
+ 3\overline{J_{0}}(z) \left\{ \frac{a_{22}}{r} \left[\frac{e_{i}^{\varphi}}{\sigma_{i}} + \frac{\partial}{\partial \theta} \left(\frac{e_{i}^{\varphi}}{\sigma_{i}} \right) \right] + a_{12} \frac{\partial}{\partial r} \left(\frac{e_{i}^{\varphi}}{\sigma_{i}} \right) + \right. \\
+ a_{23} \left[r \frac{\partial}{\partial r} \left(\frac{e_{i}^{\varphi}}{r \sigma_{i}} \right) + \frac{1}{r} \frac{\partial}{\partial \theta} \left(\frac{e_{i}^{\varphi}}{\theta_{i}} \right) \right] \right\} \\
\tilde{a}_{\tau_{i}\theta} = -z \left\{ a_{33} \left[r \frac{\partial}{\partial r} \left(\frac{1}{r^{2}} \frac{\partial w}{\partial \theta} \right) + \frac{1}{r} \frac{\partial^{2}w}{\partial r \partial \theta} \right] + \right. \\
+ a_{13} \frac{\partial^{2}w}{\partial r^{2}} + \frac{a_{23}}{r} \left(\frac{\partial w}{\partial r} + \frac{1}{r} \frac{\partial^{2}w}{\partial \theta^{2}} \right) \right\} + \\
+ 3\overline{J_{0}}(z) \left\{ a_{33} \left[r \frac{\partial}{\partial r} \left(\frac{e_{i}^{\varphi}}{r \sigma_{i}} \right) + \frac{1}{r} \frac{\partial}{\partial \theta} \left(\frac{e_{i}^{\varphi}}{\sigma_{i}} \right) \right] + \\
+ a_{13} \frac{\partial}{\partial r} \left(\frac{e_{i}^{\varphi}}{\sigma_{i}} \right) + \frac{a_{23}}{r} \left[\frac{e_{i}^{\varphi}}{\sigma_{i}} + \frac{\partial}{\partial \theta} \left(\frac{e_{i}^{\varphi}}{\sigma_{i}} \right) \right] \right\} \\
\tau_{cs} = f(z) \tau(r, \theta), \quad \tau_{\theta s} = f(z) \psi(r, \theta) \quad (1.13)$$

 $+3\overline{J}_{0}(z)\left\{a_{11}\frac{\partial}{\partial r}\left(\frac{e_{i}}{z}\varphi\right)+\frac{a_{12}}{r}\left|\frac{e_{i}}{z}\varphi\left(r,\theta\right)+\frac{\partial}{\partial\theta}\left(\frac{e_{i}}{z}\psi\right)\right|+\right.$

 $+ a_{13} \left[r \frac{\partial}{\partial r} \left(\frac{e_i}{r^2} \psi \right) + \frac{1}{r} \frac{\partial}{\partial \theta} \left(\frac{e_i^2}{r^2} \right) \right]$

Поступая как обычно, для приращений моментов и поперечных сил по-

$$\begin{split} \delta M_r &= -\frac{h^3}{12} \left[a_{11} \frac{\partial^2 w}{\partial r^2} + \frac{a_{12}}{r} \left(\frac{\partial w}{\partial r} + \frac{1}{r} \frac{\partial^2 w}{\partial \theta^2} \right) + \right. \\ &+ \left. a_{13} \left[r \frac{\partial}{\partial r} \left(\frac{1}{r^2} \frac{\partial w}{\partial \theta} \right) + \frac{1}{r} \frac{\partial^2 w}{\partial r \partial \theta} \right] \right\} + \\ &+ 3 \overline{f_1} \left\{ a_{11} \frac{\partial}{\partial r} \left(\frac{e_i \varphi}{\tau_i} \right) + \frac{a_{12}}{r} \left[\frac{e_i \varphi}{\tau_i} + \frac{\partial}{\partial \theta} \left(\frac{e_i \varphi}{\tau_i} \right) \right] + \right. \\ &+ \left. a_{13} \left[r \frac{\partial}{\partial r} \left(\frac{e_i \varphi}{r \tau_i} \right) + \frac{1}{r} \frac{\partial}{\partial \theta} \left(\frac{e_i \varphi}{\tau_i} \right) \right] \right\} \\ &+ \delta M_{\emptyset} = -\frac{h^3}{12} \left[\frac{a_{22}}{r} \left(\frac{\partial w}{\partial r} + \frac{1}{r} \frac{\partial^2 w}{\partial \theta^2} \right) + a_{12} \frac{\partial^2 w}{\partial r^2} + \right. \\ &+ \left. a_{23} \left[r \frac{\partial}{\partial r} \left(\frac{1}{r^2} \frac{\partial w}{\partial \theta} \right) + \frac{1}{r} \frac{\partial^2 w}{\partial r \partial \theta} \right] \right\} + \end{split}$$

$$+3\overline{J}_{1}\left[\frac{a_{22}}{r}\left|\frac{e_{i}\varphi}{\sigma_{i}}+\frac{\partial}{\partial\theta}\left(\frac{e_{i}\varphi}{\sigma_{i}}\right)\right|+a_{12}\frac{\partial}{\partial r}\left(\frac{e_{i}\varphi}{\sigma_{i}}\right)+\right.$$

$$+a_{23}\left[r\frac{\partial}{\partial r}\left(\frac{e_{i}\varphi}{r\sigma_{i}}\right)+\frac{1}{r}\frac{\partial}{\partial\theta}\left(\frac{e_{i}\varphi}{\sigma_{i}}\right)\right]$$

$$\delta H=-\frac{h^{3}}{12}\left\{a_{33}\left[r\frac{\partial}{\partial r}\left(\frac{1}{r^{2}}\frac{\partial w}{\partial\theta}\right)+\frac{1}{r}\frac{\partial^{2}w}{\partial r\partial\theta}\right]+\right.$$

$$+a_{13}\frac{\partial^{2}w}{\partial r^{2}}+\frac{a_{23}}{r}\left(\frac{\partial w}{\partial r}+\frac{1}{r}\frac{\partial^{2}w}{\partial\theta^{2}}\right)\right\}+$$

$$+3\overline{J}_{1}\left\{a_{33}\left[r\frac{\partial}{\partial r}\left(\frac{e_{i}\varphi}{r\sigma_{i}}\right)+\frac{1}{r}\frac{\partial}{\partial\theta}\left(\frac{e_{i}\varphi}{\sigma_{i}}\right)\right]+a_{13}\frac{\partial}{\partial r}\left(\frac{e_{i}\varphi}{\sigma_{i}}\right)+\right.$$

$$+\frac{a_{23}}{r}\left[\frac{e_{i}\varphi}{\sigma_{i}}+\frac{\partial}{\partial\theta}\left(\frac{e_{i}\varphi}{\sigma_{i}}\right)\right]\right\}$$

$$N_{r}=\overline{J}_{2}\varphi\left(r,\theta\right), \quad N_{0}=\overline{J}_{2}\varphi\left(r,\theta\right) \qquad (1.14)$$

Где

$$\overline{J}_{1} = \int_{-h/2}^{h/2} z \, \overline{J}_{0}(z) \, dz, \qquad \overline{J}_{2} = \int_{-h/2}^{h/2} f(z) \, dz \tag{1.15}$$

Уравиения равновесия дифференциального элемента пластинки после выпучивания имеют вид [8]

$$\frac{\partial \delta M_{r}}{\partial r} + \frac{1}{r} \frac{\partial \delta H}{\partial \theta} + \frac{\delta M_{r} - \delta M_{h}}{r} = N_{0}$$

$$\frac{\partial \delta H}{\partial r} - \frac{1}{r} \frac{\partial \delta M_{0}}{\partial \theta} - \frac{2\delta H}{r} = N_{0}$$

$$\frac{\partial N_{r}}{\partial r} + \frac{1}{r} \frac{\partial N_{0}}{\partial \theta} + \frac{N_{r}}{r} + T_{r}^{0} \frac{\partial^{2} w}{\partial r^{2}} + T_{0} \frac{1}{r} \left(\frac{\partial w}{\partial r} + \frac{1}{r} \frac{\partial^{2} w}{\partial \theta^{2}} \right) +$$

$$+ 2S^{0} \frac{\partial}{\partial r} \left(\frac{1}{r} \frac{\partial w}{\partial \theta} \right) = 0$$
(1.16)

тде T_{\bullet}° , T_{\bullet}° , S° — янутренние тангенциальные силы начального безмоментного состояния

$$T_s^0 = h \tau_s$$
, $T_s^0 = h \tau_{s0}$ $S^0 = h \tau_{s0}$ (1.17)

Подставляя (1.14) в (1.16), получим следующую систему отпосительно $w(r, \theta), \varphi(r, \theta)$ и $\psi(r, \theta)$:

$$\begin{split} \frac{\partial}{\partial r} \left\{ a_{11} \frac{\partial^2 w}{\partial r^2} + \frac{1}{r} \left(\frac{\partial w}{\partial r} + \frac{1}{r} \frac{\partial^2 w}{\partial \theta^2} \right) + a_{13} \left[r \frac{\partial}{\partial r} \left(\frac{1}{r^2} \frac{\partial w}{\partial \theta} \right) + \frac{1}{r} \frac{\partial^2 w}{\partial r \partial \theta} \right] \right\} + \\ + \frac{1}{r} \frac{\partial}{\partial \theta} \left\{ a_{33} \left[r \frac{\partial}{\partial r} \left(\frac{1}{r^2} \frac{\partial w}{\partial \theta} \right) + \frac{1}{r} \frac{\partial^2 w}{\partial r \partial \theta} \right] + a_{13} \frac{\partial^2 w}{\partial r^2} + \\ + \frac{a_{23}}{r} \left(\frac{\partial w}{\partial r} + \frac{1}{r} \frac{\partial^2 w}{\partial \theta^2} \right) \right\} + \\ + \frac{1}{r} \left[\left(a_{11} - a_{12} \right) \frac{\partial^2 w}{\partial r^2} + \left(a_{12} - a_{22} \right) \frac{1}{r} \left(\frac{\partial w}{\partial r} + \frac{1}{r} \frac{\partial^2 w}{\partial \theta^2} \right) + \\ + \left(a_{13} - a_{23} \right) \left[r \frac{\partial}{\partial r} \left(\frac{1}{r^2} \frac{\partial w}{\partial \theta} + \frac{1}{r} \frac{\partial^2 w}{\partial r \partial \theta} \right) \right] \right\} - \\ - \frac{36\overline{f}_1}{h^3} \frac{\partial}{\partial r} \left[a_{11} \frac{\partial}{\partial r} \left(\frac{e_i \tilde{\gamma}}{z_i} \right) + \frac{1}{r} \frac{\partial}{\partial \theta} \left(\frac{e_i \tilde{\gamma}}{z_i} \right) \right] \right] - \\ + \frac{36\overline{f}_1}{h^3} \frac{1}{r} \frac{\partial}{\partial \theta} \left[a_{33} \left[r \frac{\partial}{\partial r} \left(\frac{e_i \tilde{\gamma}}{r_{3i}} \right) + \frac{1}{r} \frac{\partial}{\partial \theta} \left(\frac{e_i \tilde{\gamma}}{z_i} \right) \right] \right] - \\ + \frac{36\overline{f}_1}{h^3} \frac{1}{r} \frac{\partial}{\partial \theta} \left[a_{33} \left[r \frac{\partial}{\partial r} \left(\frac{e_i \tilde{\gamma}}{r_{3i}} \right) + \frac{1}{r} \frac{\partial}{\partial \theta} \left(\frac{e_i \tilde{\gamma}}{z_i} \right) \right] \right] - \\ - \frac{36\overline{f}_1}{h^3} \frac{1}{r} \left\{ \left(a_{11} - a_{12} \right) \frac{\partial}{\partial r} \left(\frac{e_i \tilde{\gamma}}{z_i} \right) + \frac{1}{r} \frac{\partial}{\partial \theta} \left(\frac{e_i \tilde{\gamma}}{z_i} \right) \right\} \right\} - \\ + \left(a_{13} - a_{23} \right) \left[r \frac{\partial}{\partial r} \left(\frac{e_i \tilde{\gamma}}{r_{3i}} \right) + \frac{1}{r} \frac{\partial}{\partial \theta} \left(\frac{e_i \tilde{\gamma}}{z_i} \right) \right] \right\} + \\ + \left(a_{13} - a_{23} \right) \left[r \frac{\partial}{\partial r} \left(\frac{e_i \tilde{\gamma}}{r_{3i}} \right) + \frac{1}{r} \frac{\partial^2 w}{\partial \theta} \left(\frac{e_i \tilde{\gamma}}{z_i} \right) \right] \right\} + \\ + \left(a_{13} - a_{23} \right) \left[r \frac{\partial}{\partial r} \left(\frac{e_i \tilde{\gamma}}{r_{3i}} \right) + \frac{1}{r} \frac{\partial^2 w}{\partial \theta} \left(\frac{e_i \tilde{\gamma}}{z_i} \right) \right] \right] + \\ + \left(a_{13} - a_{23} \right) \left[r \frac{\partial}{\partial r} \left(\frac{e_i \tilde{\gamma}}{r_{3i}} \right) + \frac{1}{r} \frac{\partial^2 w}{\partial \theta} \left(\frac{e_i \tilde{\gamma}}{z_i} \right) \right] \right] + \\ + \left(a_{13} - a_{23} \right) \left[r \frac{\partial}{\partial r} \left(\frac{e_i \tilde{\gamma}}{r_{3i}} \right) + \frac{1}{r} \frac{\partial^2 w}{\partial \theta} \left(\frac{e_i \tilde{\gamma}}{z_i} \right) \right] \right] + \\ + \left(a_{13} - a_{23} \right) \left[r \frac{\partial}{\partial r} \left(\frac{e_i \tilde{\gamma}}{r_{3i}} \right) + \frac{1}{r} \frac{\partial^2 w}{\partial \theta} \left(\frac{e_i \tilde{\gamma}}{z_i} \right) \right] \right] + \\ + \left(a_{13} - a_{23} \right) \left[r \frac{\partial}{\partial r} \left(\frac{e_i \tilde{\gamma}}{r_{3i}} \right) + \frac{1}{r} \frac{\partial^2 w}{\partial \theta} \left(\frac{e_i \tilde{\gamma}}{z_i} \right) \right] \right] + \\ - \left(a_{13} - a_{23} \right) \left[r \frac{\partial$$

$$\begin{split} &-\frac{36\overline{f_{1}}}{h^{3}}\,\frac{1}{r}\,\frac{\partial}{\partial\theta}\left\{\frac{a_{22}}{r}\left[\,\frac{e_{i}\varphi}{\sigma_{i}}+\frac{\partial}{\partial\theta}\left(\frac{e_{i}\varphi}{\sigma_{i}}\right)\,\right]+a_{12}\frac{\partial}{\partial r}\left(\frac{e_{i}\varphi}{\sigma_{i}}\right)+\\ &+a_{23}\left[r\,\frac{\partial}{\partial r}\left(\frac{e_{i}\varphi}{r\sigma_{i}}\right)+\frac{1}{r}\,\frac{\partial}{\partial\theta}\left(\frac{e_{i}\varphi}{\sigma_{i}}\right)\right]\right\}-\\ &-\frac{72\overline{f_{1}}}{h^{3}}\,\frac{1}{r}\left\{a_{33}\left[r\,\frac{\partial}{\partial r}\left(\frac{e_{i}\varphi}{r\sigma_{i}}\right)+\frac{1}{r}\,\frac{\partial}{\partial\theta}\left(\frac{e_{i}\varphi}{\sigma_{i}}\right)\right]\right\}+\\ &+a_{13}\frac{\partial}{\partial r}\left(\frac{e_{i}\varphi}{\sigma_{i}}\right)+\frac{a_{23}}{r}\left[\frac{e_{i}\varphi}{\sigma_{i}}+\frac{\partial}{\partial\theta}\left(\frac{e_{i}\varphi}{\sigma_{i}}\right)\right]\right\}+\frac{12\overline{f_{2}}}{h^{3}}\,\psi\left(r,\,\theta\right)=0\\ &\overline{f_{2}}\left(\frac{\partial\varphi}{\partial r}+\frac{\varphi}{r}+\frac{1}{r}\,\frac{\partial\varphi}{\partial\theta}\right)+T_{r}^{0}\frac{\partial^{2}w}{\partial r^{2}}+T_{\theta}^{0}\,\frac{1}{r}\left(\frac{\partial w}{\partial r}+\frac{1}{r}\,\frac{\partial^{2}w}{\partial\theta^{2}}\right)+\\ &+2S^{0}\,\frac{\partial}{\partial r}\left(\frac{1}{r}\,\frac{\partial w}{\partial r}\right)=0 \end{split}$$

Это — система устойчивости пластинки за пределами упругости материала с учетом влияний деформаций поперечных сдвигов.

2. Рассмотрим задачу об устойчивости круглой иластинки, сжатой в своей плоскости радиальным давлением ρ , при осесимметричных формах потери устойчивости. Пусть в пластинке реализовано однородное дефоринрованное состояние с интенсивностью деформации η . Для простоты ограничимся случаем линейного упрочнения [1]

$$\begin{cases} 0, \text{ ecan } e_1 & e_4 \\ 1 - \frac{1}{3\omega} \frac{dz}{\omega e_1} = \text{const. ecan} \end{cases}$$
 (2.1)

Здесь G — модуль сдпига. ψ — предел упругих деформаций материала.

В отличие от обычного, состояние пластинки до потери устойчивости будем представлять ее деформированным состоянием, а не напряженным. Это означает, что вместо критических значении напряжений (нагрузок) будем отыскивать критические значения интенсивности деформаций начального плоского состояния пластинки. Как булет показано в пункте 3, этот вопрос, которыи при упругом и упрочняющемся материалах не важен, при идеальной пластичности приобретает принципиально важное значение.

Полагая

$$T_r^0 = T_t^0 = -ph - 3Gh[(1-h)e_i - he_i], S^0 = 0$$
 (2.2)

н используя (1.1), (4.2), (2.1), находим

$$a_{11} = a_{22} = \frac{G}{e_i} [4 (1 - i) e_i - i e_s], \quad a_{33} = \frac{G}{e_i} [(1 - i) e_i + i e_s]$$

$$a_{12} = \frac{G}{e} [2 (1 - i) e_i - i e_s], \quad a_{13} = a_{22} = 0$$
(2.3)

Имея в виду, что коэффициенты a_{ij} не зависят от координат, а в силу осесниметричности выпучивания пластинки $\psi = 0$, из (1.18) с учетом (2.3) получим

$$\frac{d}{dr}\left(\frac{d^2w}{dr^2} - \frac{1}{r}\frac{dw}{dr}\right) - a\frac{d}{dr}\left(\frac{dr}{dr} - \frac{\varphi}{r}\right) + b\varphi = 0$$

$$\frac{d}{dr^2} + \frac{1}{r}\frac{dw}{dr} - c\left(\frac{d\varphi}{dr} + \frac{1}{r}\right) = 0$$
(2.4)

где

$$a = \frac{12\overline{J_{1}}e_{i}}{Gh^{3}[(1-\iota)e_{i}+\iota e_{s}]}, \qquad = \frac{19\overline{J_{2}}}{Gh^{3}[4(1-\iota)e_{i}+\iota e_{s}]}$$

$$c = \frac{J_{2}}{3Gh[(1-\iota)e_{i}+\iota e_{s}]}$$
(2.5)

С помощью простых преобразований функцию (ныразим черсэ 🔛

$$\gamma = \frac{\frac{d}{dr} \left(\frac{d^2 w}{dr} + \frac{1}{r} \frac{dw}{dr} \right)}{12 \int_{-\infty}^{\infty} \left[4 \left(1 - \lambda \right) e_i + \lambda e_i \right] \left(1 - 36 \frac{J_1}{J_2} \frac{e_i}{h^2} \right)}$$
(2.6)

Подставляя вто выражение во второе уравнение системы (2.4), приходим к дифференциальному уравнению Бесселя относительно прогиба

$$\nabla^1 \mathbf{w} + \mathbf{z} = 0 \tag{2.7}$$

где

$$x^{n} = \frac{1}{c_{i}^{n}} - \frac{36e_{i}}{h^{2}} \frac{(1-h)e_{i} + he_{i}}{4(1-h)e_{i} + he_{i}} \frac{1}{1 - 36\frac{J_{1}}{J_{2}}} \frac{e_{i}}{h^{2}}$$
(2.8)

Ограниченное решение уравнения (2.7), которое на контуре пластинки r=R превращается в нуль, имеет вид [4]

$$w(r) = C[j_0(2r) - j_0(2R)]$$
 (2.9)

Здесь C — постоянная интегрирования, J_* — бесселева функция первого рода с нулевым индексом. Из (2.6) с учетом (2.9) для функции q находим

$$\varphi = -C_1^2 \alpha^3 f_1(\alpha r) \tag{2.10}$$

где 4 — бесселева функция первого рода с индексом 1.

Вычислим изгибающий момент и угол наклона в радиальном направления пластинки.

Первая формула (1.14) в нашем случае принимает вид

$$\delta M_i = -\frac{h^4}{12} \left(a_{ii} \frac{d^2 w}{dr^2} + \frac{a_{ii}}{r} \frac{dw}{dr} \right) +$$

$$+ \frac{f_1 e_i}{G[(1-\epsilon)e_i + ie_i]} \left(a_{ii} \frac{d\phi}{dr} + a_{ii} \frac{\tau}{r} \right) \qquad (2.11)$$

Имен в виду (2.3), (2.9) и (2.10), получим

$$\lambda M_{r} = \frac{C\alpha^{2}h^{3}}{12}a_{11}\left(1 - 36\frac{\overline{J}_{1}}{\overline{J}_{1}}\frac{e_{1}}{h^{2}}\right)\left[J_{0}(2r) - \frac{2\left[\left(1 - i\right)e_{1} - i\right]}{4\left(1 - i\right)e_{1} + i\cdot e_{2}}\frac{J_{1}(2r)}{2r}\right]$$
(2.12)

Дли угла наклона из (2.9) находим

$$\frac{dw}{dr} = -Cz f_1(zr) \qquad (2.13)$$

В случае защемленной по контуру пластинки граничное условие имеет вид

$$\frac{dw}{dt}\Big|_{t=0} = 0 \tag{2.14}$$

В случае же шаринрио опертой пластинки --

$$M_{\star}|_{L=R} = 0$$
 (2.15)

Следовательно, критические значения интенсивности деформаций начального состояния пластники с определяются кориями уравнений

$$J_1(2R) = 0$$
 (случан защемления) (2.16)

$$J_0(aR) - 3 \xrightarrow{J_1(aR)} = 0$$
 (случай шарнирного опирания) (2.17)

FAC

$$= \frac{2[(1-i)e_{i}+ie_{i}]}{4(1-i)e_{i}+ie_{i}}$$

$$= R = \frac{6R}{h} \frac{e_{i}[(1-i)e_{i}+ie_{i}]}{[4(1-i)e_{i}+ie_{i}](1-36\frac{\overline{J}_{1}}{\overline{J}_{2}}\frac{e_{i}}{h^{2}})}$$
(2.18)

Соответствующие критические значения сжимающего дапления p одноаначным образом определяются по формуле

$$p = 3G[(1-i)e_1 + ie_2]$$
 (2.19)

При I=0, $J_0/J_2=0$ (2.16) — (2.18) совпадают с соответствующими уравнениями и выражениями классической теории упругой пластинки при несжимаемости материала [4].

3. Рассмотрим случай идеальной пластичности ($\lambda=1$). Допустим, что начальное состояние пластинки предельное ($\sigma_i=\sigma_i={\rm const}$), то есть в любой се точке достигнут предел упругости материала. Исследуем вопрос возможности существования искривленных форм предельного равновесия такой пластинки. Полагая $\lambda=1$, из (2.18) получим

$$\beta = 2, \qquad 2R = \frac{6R}{h} \sqrt{\frac{e_l}{1 - 36\frac{\overline{J_1}}{\overline{J_2}}\frac{e_l}{h^2}}}$$
 (3.1)

Имея в виду условия существования истривиальных форм равновесня (2.16), (2.17), с учетом (3.1) заключаем, что для идеально пластической иластички существуют такие определенные степени развития пластического течения пачального состояния, то есть такие определенные значения интенсивности деформаций $e^{(n)}$, при которых возможно предельное равновесие искривленных форм пластинки.

Эти значения которые условно наловем, критическими, получаются кориями уравнений (2.16), (2.17).

Econ

$$e = e^{(n)} \quad (n = 1, 2, 3, ...)$$
 (3.2)

гдс $e^{i\phi}$ — критическое значение, соответствующее n-ому корию уравнений (2.16), (2.17), то возмежна только плоская форма предельного равновесня пластии сп. (C=0).

При

$$e_i = e^{(n)} \quad (n = 1, 2, 3, ...)$$
 (3.3)

кроме плоской возможно существование еще И-ой формы предельного равновесия пластинки

$$w^{(n)}(r) = C[J_0(a^{(n)}r) - J_0(a^{(n)}R)], \quad a^{(n)} = \frac{6}{h} \qquad \frac{1 - 36\frac{\overline{J_1}}{\overline{J_2}} \frac{e_i^{(n)}}{h^2}}{1 - \frac{36}{\overline{J_2}} \frac{e_i^{(n)}}{h^2}}$$
(3.4)

Момент появления возможности существования искривленной формы равновесия, всобще говоря, не совпадает с моментом наступления предельного равновесия пластинки. Такое совпадение имеет место лишь в одном частном случае, когда

$$e^{(1)} = e_{\pi} \tag{3.5}$$

Если граничные условия допускают свободное течение материала при пло-

ской форме равновесия пластинки, то со временем обязательно поочередно наступят моменты достижения критических состояний $e_i^{(1)}$, $e_i^{(2)}$, и т. д.

Это явление имеет простое физическое объяснение. Из (1.5) с учетом (2.1) при идеальной пластичности ($\lambda = 1$) получаем

$$a_{11} \equiv a_{22} = a_{33} = G \frac{e_3}{e_4}, \quad a_{12} = -G \frac{e_3}{e_4}, \quad a_{13} \equiv a_{22} = 0$$
 (3.6)

откуда видно, что с ростом пластического течения начального состояния (с возрастанием e_i) изменяются механические свойства материала, что заключается в увеличении его деформативности. В связи с этим, если при $e_i < e^{(n)}$ невозможно равновесие пластинки по n-ой форме искрипления, то это становится возможным при $\frac{n}{n}$, когда материал пластинки уже обладает соответствующими деформативными свойствами.

Важно отметить, что возможность существования искрияленных форм предельного состояния нельзя отождествлять с обычным понятием потери устойчивости пластинки. Дело в том, что при переходе от плоской формы к любой искривленной форме, который происходит на площадке текучести материала, варнация потенциальной энергии упругого деформирования всегда равна нулю. Поэтому, в смысле минимальности потенциальной энергии системы, плоская форма пластинки никакого преимущества не имеет по сравнению с искривденной формой. По этой причине не может существовать тенденции возвращения искривленной пластинки к ее исходной плоской форму равновесия. В силу этого, если при условии (3.3) искривлять пластинку по форме (3.4) и останить самой себе, то реализуется безразличное предельное равновесие такой искривленной пластинки. Если же искриплить пластинку при условии (3.2) по любой форме и оставить, то состояние равновесия не реализуется. Однако это не означает, что искривленияя пластинка возвратится к ее исходной плоской форме. Движение пластинки будет способствовать удалению от плоской формы. Пластинка разрушится по заданной схеме. В окончательном счете предельное равновесие пластинки всегда не устойчиво. Любопытно отметить, что если в качестве характеризующего параметра начального состояния приимать напряжение, то в случае идеальной пластичности это приводит к ненабежному исключению на поля рассмотрения или всех возможных нетривнальных форм предельного равнопесия (случан (3.2)), или всех, кроме первой (случан (3.5)). Причина этого обстоятельства заключается в том, что между напряжениями и деформациями идеально-пластического тела существует невзаимноодновначная зависимость: единственному полю напряжений соответствует бескопечное множество полей деформаций. Во избежание этого при идеальной пластичности необходимо начальное состояние характеризовать нараметрами деформаций, а не напряжений. что и сделано в настоящей статье. Разумеется, для упругого и упрочияющегося материалов не имеет значения, из какого состояния исходить, из напряженного состояния или из деформированного.

Tobaugu 1

1	/ 0							1	Λ (1.2								z 0.4								
1	1		103 e _i				10 p 3G				101 61			10° µ 3G			102 %			101 p 3G					
RI	1	Ī	I	11	11	l	1		H	111	-	1	П		111	I		H	111	1	11	111	1	11	111
2.5	ка. ут.														1839.8 241_32				1472.0 193.26	260.51 134.31		1839.5 241.28			
99	RA. 91.														459.81 173.12				368.05 138.70			459,50 173.00			
0	KA. VT.														114.81 81.20						54.19 45.28	114.50 80.98		32.91 27.57	
RI	1					λ	0.6) ₁ =	0.8						λ=	1		
2.5	KA. VI.														1836.9 240.95							460.03 173 19		1 1	1 1
in	KA. VT.	64_1: 51.9													457,00 172,07						54 69 45.69	115,00 81_33		1	1
10	KA XT.	15.2 14.3						1	22. 18.	46.1 32.8					112,03 79,23			11.15 9.45			13.67 13.03			1	1

Важно отметить, что если в рамках деформационной теории пластичности, путем представления пачального состояния пластинки через ее деформированное состояние, можно устранить этот недостаток, то это невозможно сделать при теории течения. Причина атого обстоятельства заключается в том, что в теории течения невозможно записать механические соотношения, разрешенные относительно компонент полных деформаций.

В заключение заметим, что существование критической деформации при идеальной пластичности впервые было обнаружно в работе [6]. Обсуждение вопроса там проводится на примере длинной полосы с использованием другого подхода, основанного на разрывной зависимости критического напряжения от гибкости.

4. В таба. 1 и 2 приведены некоторые численные результаты решения задачи защемленной пластинки в уточненной и классической постановках для первых трех форм потери устойчивости. Как и следовало ожидать, критические напряжения с возрастанием в монотонно убывают и при идеальной пластичности (в. 1) независимо от форм выпучивания равняются пределу текучести материала (таба. 1). Этот вывод справедлив как при учете, так и при пренебрежении влияний поперечных сдвигов.

Таблица 2

1			$p_{\scriptscriptstyle B}^{\xi}$	b) A. Pyt.		
2.3	0	0.2	0.4	0,6	0.8	1.0
2.5	1.939	1.538	1.935	1.929	1,912	1
5	1.235	1.234	1.232	1.228	1.218	1
10	1.058	1 037	1.057	1.054	1.042	1

Влияние поперечных сдвигов существенным образом зависит от относительной голщины пластинки. Если при R/h=2.5 уточненные значения критического напряжения для обычных упрочняющихся материалов (0 < λ < 0.95) почти в два раза меньше, чем классические, то при R = 10 поправка составляет примерно 6 (табл. 2). Влияние поперечных сдвигов настолько сильно, наскалько материал ближе к линейно упругому С увеличением пластических свойств материала это влияние ослабляется. Для идеально-пластических пластии ($\lambda = 1$) учет влияния деформаций поперечных сдвигов приводит к понижению значении критических детермаций При этом понижение настолько ощутимо, насколько толще пластинка.

Наститут механики АН Арминской ССР

Поступяла 20 XI 1971

ՈՉ ԱԹԱՉԳԱԿԱՆ ԿԼՈՐ ՍԱԼԵՐԻ ԿԱՅՈՒՆՈՒԹՅԱՆ ՄԱՍԻՆ՝ ԼԱՅՆԱԿԱՆ ՍԱՀՔԵՐԻ ԳԵՖՈՐՄԱՑԻԱՆԵՐԻ ԱԶԳԵՑՈՒԹՅՈՒՆՆԵՐԻ ՀԱՇՎԱՌՄԱՄՐ

Uldunchald

ON STABILITY OF UNELASTIC CIRCULAR PLATES. CONSIDERING TRANSVERSAL DISPLACEMENTS

R. M. KIRAKOSIAN

Summary

Within the theory of small elastic-plastic deformations of arbitrary hardening material a system of differential equations is obtained for the stability of circular plates, considering transversal displacements. As application the stability problem is solved for circular plates compressed radially, hinge-supported and rigidly fastened over their contour with an axisymmetric form of stability loss. The ideal plasticity case is considered. A numerical example is presented.

AHTEPATYPA

- 1. Ильюшин А. А. Пластичность, М.-А., Гостехиздат, 1948.
- 2. Качанов . 1. М. Основы теории пластичности, М., Физматгил, 1969.
- 3. Хори М. Устойчивость упруго-пластических конструкций. Механика, 1965, № 1.
- 4. Вольмир А. С. Устойчивость упругих систем. М., Физматгия, 1963.
- Клюшников В. Д. Развитие теории устоичивости конструкций за пределом упрусости и критерий бифуркации процесса деформирования. Прикл. механика. 1975, т. XI (XXI), п. 6.
- Клюшников В. Д. О некоторых особенностих явления неустойчивости за пределом упругости. В кил: «Успехи механики деформируемых сред». М., Наука, 1975.
- Амбарциян С. А. Об устойчивости пеупругих пластипок с учетом деформации поперечных савигов. НММ, 1963, т. XXVII, в. 4
- 8. Амбарцимия С. А. Теория анизотропимх пластии. М., Физматгиз, 1967.
- Киракоски Р. М. Об устойчивости пластинок за пределами упругости с учетом поперечных сдингов. Изп. АН АрмССР, Механика, 1974. г. XXVII. № 4.
- Киракосян Р. М. Об устойчивости неупругой прямоугольной пластинки, шаркирно оперток по двум протиноположным сторонам, с учетом поперечных сдвигом Изв. АН АрмССР, Механика, 1977. т. XXX, № 2
- Shanley F. R. Inclastic column theory. Journ. of the Aeronautical Sciences, 1947, v. XIV. No. 5.
- 12. Работнов Ю. Н., Шестериков С. А. Устойчивость стержней и пластинок и условиях ползучести. ПММ, 1957, г. XXI, р. 3.

К. С. КАРАПЕТЯН, Р. А. КОТИКЯН, К. А. КАРАПЕТЯН

ВЛИЯНИЕ ВОДОНАСЫЩЕНИЯ НА АНИЗОТРОПИЮ ПРОЧНОСТИ, МОДУЛЯ ДЕФОРМАЦИИ И ПОЛЗУЧЕСТИ БЕТОНА ПРИ СЖАТИИ И РАСТЯЖЕНИИ

В работе [1] впервые было установлено, что влияние водонасыщения на прочность и деформативность бетона в большой мере зависит от направления сжимающей нагрузки по отношению к слоям бетонирования — водонасыщение приводит к существенному изменению степени анизотронии бетона по прочности и модулю деформации. Исследования привели автора к выводу, что при водонасыщении изменения физико-механических и анизотронных свойств бетона происходят ил следующим грем причинам:

- 1. Раздвигающих действий адсорбанонных иленок воды, проникающих в микр щели твердого гела [2, 3]
 - 2. Возебновления процесси твердения бетона вторичное твердение.
- 3. Заполнения образовавшихся под частицами заполнителя пустот (деректов) водой.

Первые две причины, которые приводят к изменению физико-механических свойств бетана, общенавсетны, однако еще недостаточно изучены. Что касается положительного эффекта водных прослоек, которые восстанавливаются в связи с заполнением пустот (дефектов) водой, то эту гипотезу предложил К. С. Карапетян [1].

Согласно К С. Карапетяну, причиной неодинаковости свойств бетона в различных направлениях, то есть анизотролит, являются те водные просложи, которые неизбежно образуются под частицами заполнителя в результате внутреннего рассланвания бетона при его ухладке и уплотнении. При испарении всех этих прослоек на их местах остаются пустоты (дефекты), которые ослабляют сечение бетонного элемента и снижают его прочность, увеличивают деформации. Отрицательное влияние дефектов на прочность бетона более существенно в том случае, когда призмы испы ываются периендикулярно слоям бетонирования, так как в этом случае ославление сечения образцов дефектами получается нанбольшее [4—6].

В работе [1] опытами над шлакобетонными призмами, изготовленными в вертикальных и горизонтальных формах, было показано, что водонасыщение приводит к упрочиению бетона не только за счет вторччного твердения, но и за счет заполнения вышеуказапных пустот (дефектов) исжимаемой жидкостью—водой.

Влияние водонасыщения на прочность, модуль деформации и из анизотропные свойства бетона при сжатии исследовалось также в работе [7]. Методика опытов отличалась тем, что в атом случае впервые испытаним подвергались небольшие цилиндрические образцы, которые вырезывались в двух взаимно перпендикулярных направлениях из одного и того же бетонного элемента возраста 23 года. Кроме того, для установления закономерности влияния водонасыщения на прочность и модуль деформации бетона в зависимости от направления сжимающей нагрузки по отношению к слоям бетонирования, образцы испытывались через 7 различных сроков хранения в воде.

Ниже рассматриваются результаты большой серии опытов, которые были поставлены для изучения влияния водонасыщения на прочность, деформативность и ползучесть бетона с учетом анизотропии как при сжатии, так и при растяжения.

Для пропедения намеченных программой исследовании ил бетона на литоидной пемле и портландуементе активностью 380 кгс см² (состав и маесе 1:1,66:2,99, В/Ц 1, Ц 260 кг на 1 и бетона) было изготоилено 108 призм размерами 10×10×40 см и 90 восьмерох сечением 10×10 см, высотой 60 см При изготовлении образуоп половина их бетонироналась и пертикальных формах, а другая половина — в горизонтальных формах, так что при испытании в первом случае нагрузка действовала периендикулярно, а во втором случае — параллельно слоям бетонирования. Образум освобождались от форм через трое суток, после чего до месячного возраста они хранились во влажных условиях, а затем до обводнения в возрасте 11 месяцев — в обычных лабораторных условиях.

Для исследования влияния водонасыщения на прочность и деформативность бетона при сжатии и растяжении были испытаны 36 призм и 30 восьмерок. Испытывались как контрольные сухие образцы, так и образцы после хранения в воде 1, 3, 7 и 28 сут., а на сжатие еще и 3 мес. Остальные образцы были предназначены для исследования водонасыщения на дальнейшую ползучесть бетона под длительной нагрузкой. С этой целью длительному сжатию и растяжению было подвергнуто 36 призм и 30 восьмерок и на таком же количестве образцов определялись усадочные деформации. После изъятия из воды и длительного загружения образцы находились в обычных лабораторных условиях, где температура составляла Т = 23± 4 C, а относительная влажность — Р = 68 ± 9%. Напряжение для всех призм составляло 40 кгс/см², а для восьмерок — 6 кгс/см². Длительные деформации каждого образца замерялись двумя микроиными индикаторами на базе 160 мм. Кубиковая прочность бетона в месячном возрасте составляла 267 кгс/см².

Экспериментальные кривые кратковременных деформаций как при сжитии, так и при растяжении аппроксимпровались по коррелиционному ураппению

$$i = \frac{a \frac{z}{R}}{1 - b \frac{z}{R}}$$

где a и b — спытные параметры, а R — прочность бетона (при сжатии призменная прочность, а при растяжении — прочность на растяжение).

Касательные модули деформации при различных напряжениях определялись по формуле

$$E = \frac{R}{a} \left(1 - b \, \frac{\sigma}{R} \right)^2$$

гле Ria представляет начальный модуль деформации.

По данным табл. 1, где приведены прочностные характеристики и касательные модули деформации бетона при сжатии, водонасыщение по-разному влияет на прочность призм, испытанных пернеидикулярно и параллельно слоям бетонирования. Как видим, подонасыщение практически не оказало влияния на прочность призм, испытанных перпендикулярно слоям, не в призмах, испытанных параллельно слоям, привело сперва к спаду, а в дальнейшем—к росту прочности. В конце опытоя прочность водонасыщенных призм, испытанных параллельно слоям, превышает прочность соответствующих конгрольных сухих призм на 10 и при атом перекрыто начальное адсорбционное понижение прочности, которое на 7 суг. водного хранения составило 12%.

Водонасыщение оказывает существенное влияние на степень анизотропни бетона по прочности. В первые сутки водного хранения коэффициент анизотропии по призменной прочности K_1 K_{np}/R_{np} (где R_{np} и R_{np} — соответственно прочности призм, испытанных перпендикулярно и параллельно слоям бетонирования) уменьшается и бетон по прочности становится изотропным. Однако, в дальнейшем анизотропные свойства бетона вновь начинают проявляться и с уведичением продолжительности водного хранения K_1 возрастает до значения 1.27, что на 12 больше, чем для конгрольных сухих образцов. Изменение коэффициента K_1 во времени объясияется тем, что водное хранение по-разному влияет на прочность призм, испытанных перпендикулярно и параллельно слоям бетонярования [1].

По данным табл. 1 в результате обводнения модуль деформации бетона сперва снижается, а и последующем возрастает. При этом как спад, так и рост модуля деформации в случае испытания образцов параллельно слоям более чувствительны, чем в случае испытания образцов перпендивулярно слоям В конце опытов, то есть через 3 мес. водного храления, при о о модуль деформации образцов, испытанных перпендикулярно слоям на 8%, а образцов, испытанных параллельно слоям, на 21% больше модуля деформации соответствующих контрольных сухих образцов.

При рассмотренных сжимающих напряжениях изменение степени анивотропии бетона по модулю деформации в процессе водного хранения качественно имеет один и тот же характер. С увеличением продолжительности водного хранения до 7 суг. коэффициент анизотропии бетона по модулю деформации $K_c = E_{c,x}/E_{c,x}$ (где $E_{c,x}$ и $E_{c,x}$ соответственно модули деформации образцов, испытанных перпендикулярно и параллельно слоям бетонирования) уменьшается до единицы, а в дальнейшем су-

щественно возрастает и превосходит таковон контрольных образиов (табл. 1), $K_{\rm c}=1$ значит, что бетон по модулю деформации изотронный.

Рассмотрим результаты опытов по исследованию влияния водонасыщения на прочность, модуль деформации и степень анизотропии бетона при растяжении. Как видно из табл. 2, адсорбционный спад прочности в атом случае намного больше, чем это было в опытах на сжатие. На 3 сут. подного хранения спад прочности на растяжение, независимо от направления растягивающей нагрузки по отношению к слоям бетонирования, составляет 30%, после чего наблюдается устойчивое нарастание прочности во времени. При этом, повышение прочности образцов, испытанных перпендикулярно слоям, протекает более интенсивно, чем образцов, испытанных параллельно слоям. В результате упрочнения бетона через 28 сут. водного хранения прочность образцов, испытанных перпендикулярно слоям всего на 5% ниже прочности таких же контрольных сухих образцов, в то время как для образцов, испытанных параллельно слоям, то же самое составляет 19%.

При контрольных сухих образцах коэффициент анизотронии по прочности бетона при растижении $K_1 = R_b R_p$ (г.де R_b и R_p — соответственно прочности восьмерок, испытанных перпендикулярно и параллельно слоям) гораздо больше, чем коэффициент анизотронии по призменной прочност K_1 . С унеличением продолжительности водного хранения до 3-х сут. K_1 изменяется незначительно, а в дальнейшем существению уменьшается и бетон по прочности становится практически изотронным ($K_1 = 1.07$).

Водонасыщение оказывает существенное влияние и на модуль деформации бетона при растяжении. В этом случае также сначала водона ыщение приводит к спалу модуля деформации, а в дальненшем — к ее нарастанию во времени. Максимальный спад модуля деформации при испытании образцов перпендикулярно слоям составляет 53 д, а при испытания образцов параллельно слоям — 35%. После 7суг, в результате дальнейшего водного хранения разница модулей деформаций контрольных сухих и водонасыщениых образцов существенно уменьшается (табл. 2).

Коэффициент анилогропии бетона по модулю деформации при растяжении $K_1=E_p$ (где E_p и E_p соответственно модули деформации образцов, испытанных перпендикулярию и нарадлельно слоям) зависит как от величины напряжения, так и от продолжительности водного хранения. При контрольных сухих образцах с увеличением напряжения K_p уменьшается, а при водонасыщенных образцах — увеличивается. При $\sigma=0$ с увеличением продолжительности водного хранения коэффициент анилотропии по модулю деформации при растяжении уменьшается и приобретает вначение, близкое к единице, по есть бегой по модулю деформации становится изотропным. При напряжениях 5 и 10 кгс/см четкая дакономерность в изменении K_2 в зависимости от продолжительности водного хранения не наблюдается.

Таблица 1
Влияние водопасыщения на прочность и касительный модуль деформации бетопа на лизиндной пемле при сматии

-	Условия храновия модевидо	иправление ихамощей грузии по пошению и вым бетсив	한 글로 그 후 등 [급 등 급]		Отношение проч- пости образцов, непытанных парал, слоям, к прочности образцов, испы- танных перпен.	21 221 T-101 D-11			Чиформиј шихен в мойни с	ноче" и праздон"	орриайон моЧАчю храннв- им Чефор.	Отношение модуля деформации образцов, испытан ных параз, слоям, к модулю деформации образцов испытанцых периен. слоям при напряжении (кис см)		
		I S N P S E	T TO	аоцеводо	сходы	0	50	100	0	50	100	0	50	100
ŧ	Эвразун сухис	периен. парал,	205 231	1.00 1.00	1,13	129 147	112 129	96 113	1.00	1.00	1,00 1,00	1.14	1.15	1.17
2	4 чига в каде	перпен. парал.	214 207	1.04	0.97	118 132	110 112	102 94	0.91	0.98 0.87	1.06 0.83	1.12	1,02	0.92
	3 сут. и коле	периен.	209 219	1.02 0.95	1.05	123 128	116 120	110 114	0.95 0.87	1.04	1.15 1.01	1.04	1.03	1.04
	7 супі. в воде	парнет парах.	218 203	1.06 0.88	0,93		119 118	109 107	1.00 0.87	1.06 0.91	1.14 0.95	1.00	1.00	0.98
2	8 сут в коле	перион. парал.	194 231	0.95	1.19	115 151	111 135	108 120	0.90	1,00 1,05	1.13 1.06	1 31	1.22	1.11
	З мес. и поде	периси.	201 255	0.98 1.10	1.27	139 178	120 152	103 129	1.08	1.07 1.18	1.07 1.14	1.28	1.27	1.25

Влияния водонасыщения на прочио ть и касатольный модуль деформации бетона на дигондной немле при растижении

Таблица 2

Услонин хранения образцов	THE HARDS HELD AND A STROME HARDS OF HOME HARDS GET HELD AND A SET HELD A	A HE	прочности об- разцов, хранив- цихся в воле, к прочности су-	Отношение прочности образуон, непытанных парах, слоях, к прочности образуов, испытан-	и см пр: (к)	'АБ де 1 бего 1 при 1 жени 1 с.м.")	Ha- Ha-	теформей тижем в мяйни о	ие модул бразков. в воде, к ин сухих рижении	хранив- чодулю воргадов	предойне Усформай имх перв майни о	A. CAORM,	испытан- к модулю эцов, кс- ь слоим,
	I SHE YE	ТОН	xar nopasgon	ных перпен слоям	0	5	10	U	3	10	0	5	10
Образцы сухие	порион.	15.4 19.6	1.00 1.00	1.27	151 194	122 153	97 117	1,00 1,00	1,00 1,00	1.00	1.28	1.25	1.21
24 чиси в воде	перцен. парах.	12.0 14.1	0.78 0.72	1.17	106 131	80 106	58 83	0.67	0.66	0.60	1.24	1.33	1.43
3 сут. в воде	периен. парал.	10.8 13.7	0.70 0.70	1.27	129 156	99 114	58 76	0.85 0.80	0.73 0.75	0.60	1.21	1.28	1.31
7 сут. в водо	порах.	11.9 14.5	0.77 0.74	1,22	153 182	91 125	-16 79	1.01 0.94	0.75 0.82	0.47 0.68	1.19	1.37	1.72
28 сут в воде	периси парах.	14.7 15.8	0,45 0,81	1.07	172 176	116 133	70 96	1.14 0.91	0.87 0.90	0.72 0.82	1 02	1.15	1.37

								J					
Условия нения обр перед дли пым лагр	ALCYP.	ZERE	тка бетона (150 сут 103)	тиошение усад- образуов, кра- вшихся и воде, усляке сухих	Уровени меним и лантоль гружен ползу	МОМ#Н1 ВС 030П ВН ПВ	бетон / 200	лаучести (а при) сут. (166)	ошение и ры гисти при гистина в мо- олоучести при	аучести хранцви: к мере	образцов, ихся в коде,	ети образцоя париан, слоям зучести образ	меры ползучо- 1, испытанных 1, к мере пол- зцоя, испытан- пл. слоям
HITOM		Напрагрузки апенини бетони	Усидка при ((ε,×10)	Отношен ки образ инвшихе к услаки	R ap	Rp	при сжатии	при рас- тяжении	parchi parchi pe no pe no	сжатин	при растяжении	при сматин	при растижении
()бычное (хне абр		перион.	2.85 4.90	1.00	0.20	0.39	4,00	1.17 2.33	1.04 0.83	1.00	1,00 1,00	1.42	1.75
24 часа н	HOAT	парам.	29.5 26.4	10 35 5.39	0,19 0,19	0.50	8.45 8.50	26.2 20.0	3.10 2.35	2.11 3.01	6.28 8.58	0,99	1,31
3 <i>сут</i> и	ноле	периен_	35.0 38.0	12.28 7.76	0.19 0.18	0,56	7.50 8.95	47.5 32.2	6,33 3.60	1.87 3.17	11.40 13.80	0.84	1.48
7 сут. в	водс	периен. парал.	40.8	14.32 8.43	0.18	0.41	9.20 8.12	25.0 15.8	2.72 1.94	2.30 2.88	6,00 6,79	1.13	1.53
28 cym. n	водо	перпен. парах.	35.3 32.7	12.39 6.67	0.21 0.17	U,41 0,40	8.00 6.17	25.0 22.8	3.12 3.70	2.00	6,00 9,80	1.30	1.10
3 мес. в	воле	поряен.	34.9 43.8	12.25 8.94	0,20 0,16	=	8.50° 1.37°	=	=	Ξ	=	1,91	_
		ļ		l						l			1

Моры ползучести соотнетствуют / 150 сут.

При водонасыщении эффект водных прослоек в увеличении прочности и модуля деформации бетона при растяжении исключается и их изменение, в основном, определяется адсорбционными явлениями и эффектом вторичного твердения. Об этом свидетельствует наблюдаемое большее адсорбционное понижение прочности и модуля деформации бетона при растяжении, чем при сжатии.

Прежде чем перейти к рассмотрению результатов опытов по исследованию влияния предварительного водного хранения на последующую ползучесть бетона как при сжатии, так и при растяжении отметим, что этот вопрос до сих пор мало изучен, а с учетом анизотропии, по-видимому, никем не изучался.

Рассмотрим теперь результаты опытов по исследованию влияния водонасыщения на ползучесть бетона на литоидной пемзе при сжатии и растяжении. Кривые ползучести при сжатии представлены на фиг. 1 и 2, а при растяжении— на фиг. 3 и 4. Одновременно для облегчения качественного и количественного апализа результатов опытов необходимые дзяные сведены в табл. 3.

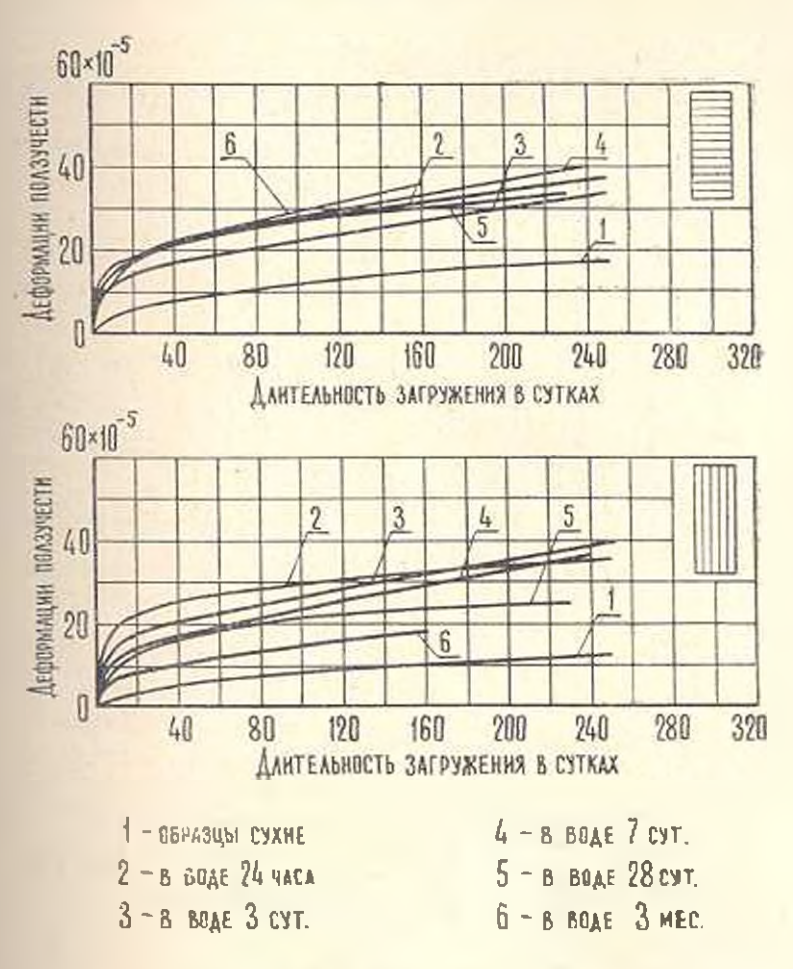
Как видио из фиг. 1—4, водонасыщение и последующее высыхание бетона под длительной сжимающей и растягивающей нагрузками привело к существенному увеличению ползучести бетона. По данным табл. 3 максимальное увеличение меры ползучести бетона получилось в случае тех образцов, которые были загружены на длительное сжатие и растяжение после трехсуточного водного хранения. При этом рост меры ползучести при растяжении гораздо больше, чем при сжатии и это в большой мере зависит от направления сжимающей и растягивающей нагрузок по отношению к слоям бетонирования. В результате трехсуточного водного хранения мера ползучести бетона при растяжении по данным испытаний образцов перпендикулярно слоям возросла в 11.4 раза, а по данным испытаний образцов параллельно слоям — в 13.8 раза.

Как видно из таба. 3, более длительное хранение бетона в воде (более 3-х суг.) уже приводит к чувствительному уменьшению разницы мер полаучести контрольных сухих и водонасыщенных образцов. Однако, все же меры полаучести водонасыщенных образцов, особенно при растяжении, намного бельше меры полаучести контрольных сухих образцов.

В существующих теориях ползучести бетона принято, что мера ползучести бетона не зависит от знака напряжения, то есть меры ползучести бетона при сжатии и растяжении равны. Однако, как показали опыты, отношение меры ползучести бетона при растяжении (C) к мере ползучести при сжатии ($C_{\rm cm}$), то есть $C_p/C_{\rm cm}$, зависит от многих факторов и для одного и того же бетона оно может быть меньше, равно и намного больше единицы [8].

По данным табл. З соотношение мер ползучести бетона при растяжении и сжатии в большой мере зависит от продолжительности водного хранения и во всех случаях водопасыщение приводит к чувствительному увеличению C_n/C_{coo} . В наших опытах больше всех C_n/C_{coo} возрастало в том случае, когда образцы были загружены на длительное растяжение и сжа-

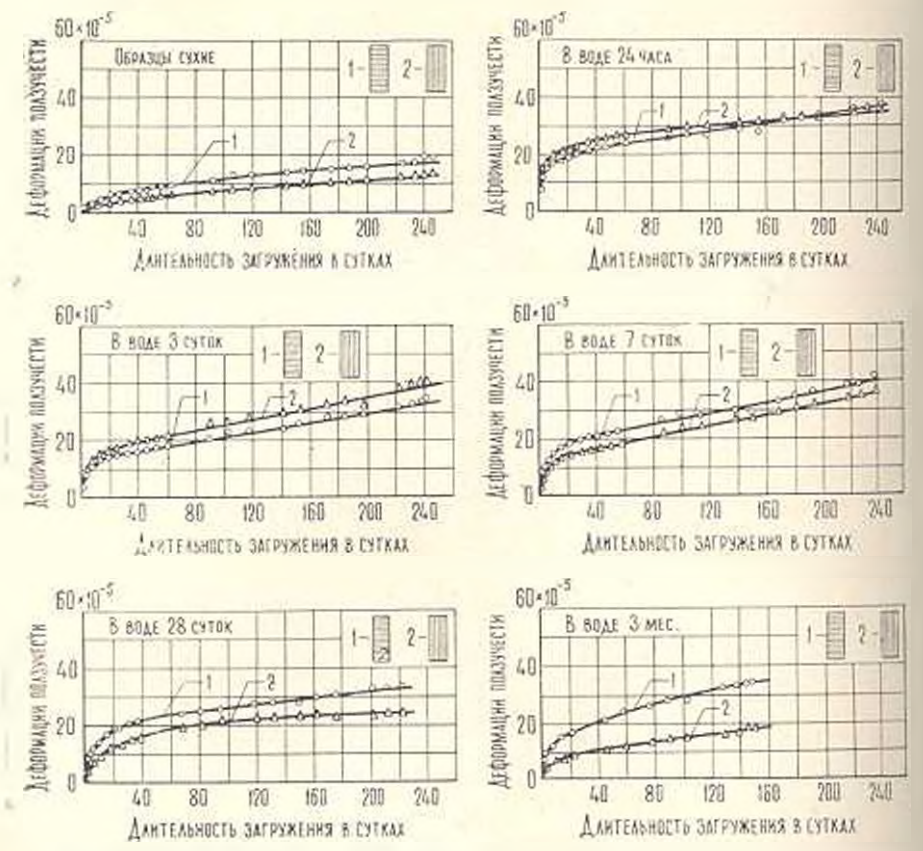
тне после 3-х суг, водного хранения. Наблюдаемое и этом случае значение $C_{\rm A}/C_{\rm -x}$, которое для образцов, испытанных перпендикулярно слоям, составляет 6.33, пожалуй пока является наибольшим из всех тех значений, которые были получены до сих пор разными исследователями. Кроме этося, еще раз подтверждается и тот рансе установленный факт, что при испытании образцов перпендикулярно слоям $C_{\rm A}/C_{\rm cx}$ гораздо больше, чем при испытании образцоп параллельно слоям [8].



Оне 1 Влияние подонасыщения на ползучесть бетопа при сжатки.

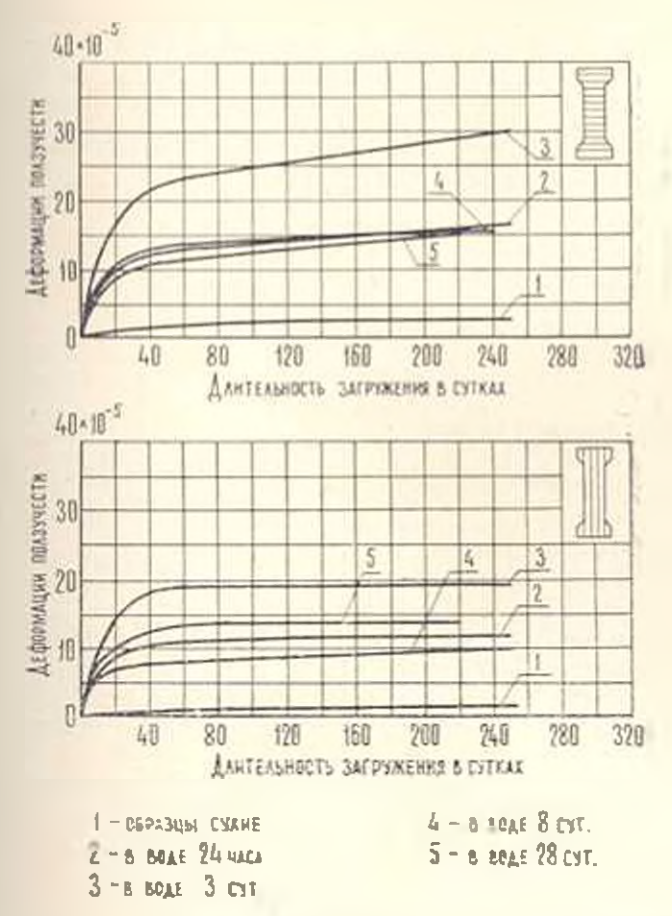
Водное хранение бетона в течение 3-х сут_ привело к увеличению мерон получести бетона по данным испытаний восьмерок перпендикулярно слоям в 6 раз, а по данным испытаний восьмерок параллельно слоям — почти в 4 раза. Это обстоятельство является положительным фактором, так как столь существенное увеличение растяжимости бетона может привести к релаксации усадочных напряжений, вызванных интенсивной усадкой водонасыщенного бетона в процессе его высыхания (табл. 3).

Рассмотрим теперь, как влияет водонасыщение на изменение степени внизотропии бетона по деформациям ползучести при сжатии и растяжеяни. Для этого в табл. З приведены значения коэффициентов анизотропии мер ползучести при сжатии $(K_{ne}=C_{cu}|C_{cu})$ и растяжении $K_{np}=C_p|C_p$) как для сухих, так и для водонасыщенных образцов. Отметим, что C_{cu} и C_p соответственно меры ползучести при сжатии и растяжении образцов, испытанных пернендикулярно слоям, а C_{cu} и C_p образцов, испытанных параллельно слоям.



Фиг. 2 Влияние подонясыщения на анизотронню деформации ползучеств бетона при сжатии.

Как видно из таба. 3, коэффициент анизотронни бетона по мере ползучести при сжатии $K_{\rm ne}$, который для сухих образцов составляет 1.42, через суточное водное хранение уменьшается до 0.99 (то есть бетон по мере ползучести стал изотронным), к 3-м сут. обводнения уменьшается до 0.84, после чего до 3-х мес. устойчиво возрастает до значения 1.91. Коэффициент авизотронии бетона по мере ползучести при растяжении в результате суточного водного хранения с 1.75 уменьшается до 1.31, в затем до 7 сут. возрастает до значения 1.58. При дальнейшем хранения бетона в воде (от 7 до 28 сут.) коэффициент вновь уменьшается и приобретает значение, равное 1.1, то есть бетои по мере ползучести становится почти изотронным. Таким образом, водонасыщение оказывает существенное влияние на степень анизотропни бетона по деформациям ползучести как при сжатии, так и при растяжении. Степень анизотропин бетона по деформациям полвучести при растяжении гораздо больше, чем при сжатии.



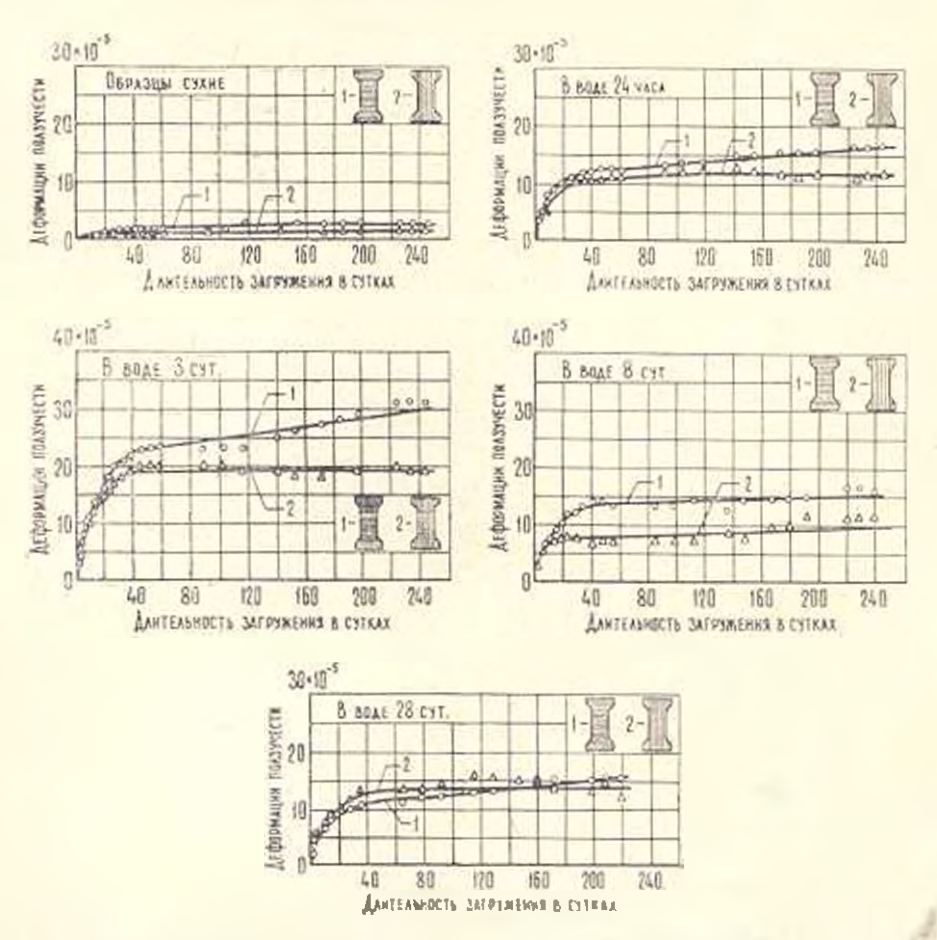
Фиг. 3. Влияние водонасыщения на ползучесть бетона при растяжении:

Теперь объясним те причины, которые обусловили столь существенпое увеличение деформации ползучести бетона как при сжатии, так и прирастяжении и результате водонасыщения.

Согласно гипотеле Карапетяна К. С. [9—11] полоучесть бетона при смятии до напряжения R. является следствием вязкости гелевой структурной составляющей цементного камия, капиллярных явлений и деформации кристаллической структуры цементного камия, а при более высоких напряжениях еще и следствием появления и развития микротрещии в бетоне

Так нак в наших опытах бетон был старый и напряжения в призмах были намного ниже $R_{\rm c}$, то деформации ползучести сухих образцов, в огновном, развивались за счет деформации кристаллической структуры цементного камия. Что касается деформаций ползучести водонасыщенных

образцов, то они, кроме этого, развивались также за счет капиллярных явлений и вязкости вновь образовавшегося геля в результате вторичного твердения, вызванного обводнением бетона. При этом, большей ползучести образиов, хранившихся в воде до 3-х сут., способствовал также некоторый спад модуля деформации бетона, вызванный адсорбционными явлениями. Однако, основной причиной столь существенного увеличения деформаций ползучести бетона при сжатии являются капиллярные явления [9-11]. Об этом свидетельствует тот факт, что водонасыщение и последующее высыхание привело также к весьма существенному увеличению усадочных деформации (табл. 3).



Фиг. 4. Влияние подопасыщения на анизотродию деформации ползучести бетона при растяжении

Как уже было показано, водонасыщение привело к чувствительному спаду прочности и модуля деформации бетона при растяжении (табл. 3) и уровни напряжений в момент длительного загружения котя в водонасыщенных образцах были заметно выше, чем в сухих образцах, но не превышади линейную область ползучести [12]. Спад модуля деформаций и более высокие уровни напряжений и способствовали большей ползучести

водопасыщенных образиов. Сказанное подтверждается тем, что максимальное увеличение деформаций ползучести при растяжении получилосьименно в том случае, когда имел место наиболее существенный спад прочности и модуля деформации бетона, то есть когда восьмерки были загружены на длительное растяжение после 3-х сут. водного хранения.

Конечно, столь существенное увеличение деформаций ползучести бетона в результате водонасыщения не является только следствием отмеченных причин тем более, что при растяжении роль капиллярных явлений в ползучести исключается и ползучесть, в основном, протекает за счет визкости гелевой структурной составляющей цементного камня и деформаций кристаллической структуры цементного камня. Большей ползучести, несомненно, способствовали и объемные изменения пористого заполнителя бетона литоидной пемзы.

Основные выводы

- 1. Водное хранение старого бетона в первые сутки приводит к снижению, а в дальнейшем к росту его прочности как на сжатие, так и нарастяжение. Адсорбционное понижение прочности и дальнейшее упрочнение бетона зависит от продолжительности водного хранения и направления сжимающей и растягивающей нагрузок по отношению к слоям бетонирования.
- 2. Водонасыщение оказывает существенное влияние на степень апидотропии старого бетона по его призменной прочности и прочности на
 растяжение. В результате суточного водного хранения бетон по призменной прочности становится изотронным, однако, в дальнейшем анизотронные свойства бетона вновь начинают проявляться и с увеличением продолжительности водного хранения коэффициент анизотронни возрастает
 и намного превосходит таковой контрольных сухих образцов. Коэффициент анизотронии по прочности бетона при растяжении в перные 3 сугводного хранения практически пе изменяется, а в дальнейшем уменьшается
 и на 28 суг. водного хранения бетон практически становится изотронным.
- 3. Водное хранение старого бетона в начальное время приводит к спижению, а и дальнейшем— к росту его модуля деформации как при сжатии, так и при растяжении. Алсороционный спад и дальнейшее нарастание модуля деформации зависят от продолжительности водного хранения, а также от величины и направления сжимающей и растягивающей фгрузок по отношению к слоям бетонирования.
- 4 Водонасыщение оказывает существенное влияние на степень анилотропни бетона по его модулю деформации как при сжатии, так и при растяжения.

Степень анизотронии по модулю деформации бетона при сжатии снас увеличением продолжительности водного хранения уменьшается и на 7 суг. он становится изотронным. В дальнейшем анизотронные свойства бетона вновь начинают проявляться, и с увеличением продолжительности водного хранения коэффициент анизотронии по модулю деформации водрастает и превосходит таковой контрольных сухих образцов. Степень анизотропии по модулю деформации бетона при растижении (при $\sigma = 5~\kappa z c/cm^2$) с упеличением продолжительности водного хранения до 7 сут. увеличивается, а в дальнейшем — уменьшается.

- 5. Водонасыщение приводит к существенному увеличению усадочных деформаций старого бетона при последующем его высыханин. До 7 суг. чем больше продолжительность водного хранения, тем больше усадка, а в дальнейшем имеет место обратное явление.
- 6. Предварительное водное хранение старого бетона приводит к существенному увеличению его последующей ползучести при высыхании под сжимающей и растягивающей нагрузками. До 3-х сут. с увеличением продолжительности водного хранения ползучесть возрастает, а в дальнейшем уменьшается.
- 7. Предварытельное водное хранение старого бетона приводит в существенному увеличению отношения меры ползучести при растяжени ($C_{\rm p}$) к мере ползучести при сжатии ($C_{\rm ex}$). С увеличением продолжительности водного хранения до 3-х суг отношение С $C_{\rm ex}$ увеличивается, а в дальнейшем уменьшается.
- 8. Предварительное водное хранение старого бетона приводит к существенному изменению степени его анизотропии по деформациям подзучести как при сжатик, так и при растяжении.

В первые сутки водного хранения коэффициент анизотропии бетом по деформациям ползучести при сжатии существенно уменьшается и становится меньше единицы, а в дальнейшем с увеличением продолжительности водного хранения до 3-х мес. возрастает до значения 1.91, что на 35% больше коэффициента анизотропнии контрольных сухих образиов. Качественно аналогично водонасыщение влияет и на коэффициент анизотропнии по деформациям ползучести при растяжении. Разница заключается лишь и том, что это, коэффициент в первые 7 сут, сбводнения остается существенно больше единицы, а затем к 28 сут, водного хранения существенно уменьшается и по своему значению приближается к единице.

9. Как при сухих, так и при водопасыщенных образцах степень анизотропни бетона по прочности, модулю деформации и деформациям ползучести при растяжении горандо больше, чем при сжатии.

Институт механики АН Армянской ССР

Гіоступила 27 IV 1979

ն, Ս, հարևանչնան, Թ. Ա. հրչխանան, Ա. Ա. Կարևոնչնան

ԶՐԱՀԱԳԵՑՄԱՆ ԱԶԳԵՑՈՒԹՅՈՒՆԸ ՔԵՏՈՆԻ ԱՄՐՈՒԹՅԱՆ, ԳԵՖՈՐՄԱՑԻԱՆԵՐԻ ՄՈԴՈՒԼԻ ԵՎ ՍՈՂՔԻ ԱՆԻԶՈՏՐՈՊԻԱՅԻ ՎՐԱ ՉԳՄԱՆ ԵՎ ՍԵՂՄՄԱՆ ԳԵՊՔՈՒՄ

Ամփոփում

Աշխատանրում բերվում են բետոնի ամրուքկան, դեֆորմացիաների մոդուլի և սողջի անիդոտրոպիայի աստիճանի փոփոխուքկան վրա ջրահաղեցման ազդեցության փորձարարական հետազոտությունների արդյունըները հղման և սեղմման դեպքերում։ Հետազոտությունները ցույց են ավել, որ ջրի մեծ պահումը սկղբնական ժամանակաշրջանում ընրում է ամբության և դեֆորմացիաների մողուլի անկմանը, իսկ հետագայում՝ նրանց աճին։ Սրկադոնի սողբի Լական մամանակաչությանական պահումը բերում է բեոռնի սողբի Լական աճին։

Հրամադեցման աղդեցուկյունը էապես կախված է բետոնավորման շերտերի նկատմամբ ձգող և սեղմող ուժերի ունեցած ուղղությունից և այդ պատ-Հառով էլ բետոնի անիզոտրոպիայի աստիՀանը ըստ ամրության, ղեֆորմադիաների մողույի և սողբի դեֆորմացիաների ջրամադեցման տևողությունից հախված փոփոխվում էւ

THE INFLUENCE OF SATURATION ON STRENGTH ANISOTROPY, MODULUS OF DEFORMATION AND CREEP OF CONCRETE AT COMPRESSION AND TENSION

K. S. KARAPETIAN, R. A. KOTIKIAN, K. A. KARAPETIAN

Summary

The paper deals with the results of the experimental investigations on the influence of saturation on strength, modulus of deformation and creep of concrete at compression and tension and on change in the degree of its anisotropy. The invectigations show that the keeping of specimens in water results at first in the decrease of strength and modulus of deformation, and subsequently in its increase. The preliminary keeping of specimens in water results in a considerable increase of subsequent creep of concrete in the process of prolonged loading.

The influence of saturation substantially depends on the direction of the compressive and tensile loading with respect to the layers of concrete, and for that reason the degree of anisotropy in strength, modulus of deformation and creep strains, depending on the duration of keeping the specimens in water, changes.

AHTEPATYPA

- 1. Карипетян К. С. О вторичном твердении и изменения апизотропных свойстч бетона при его водонасыщении. Докл. АП АрмССР, 1973, т. 17, № 3.
- 2 Депятин Б. В. Расклинивающее действие жидинх эленох и его практическое значение, «Природа», 1943, № 2.
- 3. Ребимлер П. А. Физико-механические исследования процессов деформаций твердых тел. Юбилейный сб. АП СССР, 1947.
- 4 Карапетян К. С. Об одном существениям факторе в прочностных и деформативных свойствах бетона. Дока. АН АрмССР, 1957, т. 24. № 4.
- 5. Кирапетин К. С. Влияние анизотрошин на ползучесть бетона. Изи. АН АрмССР, 100 физ.-мат. паук, 1957, т. 10, № 6.
- Карапстян К. С. Влияние анизотропии на полоучесть бетона в зависимости от плажно ти среды, Изя. АН АрмССР, сер. физ.-мат. паук, 1965. т. 18. № 2.

- Карапстян К. С., Котикян Р. А., Карапстан К. А. Исследование анизотропия прочности и модуля деформации весьма старого бетона. Третий национальный конгресс по теорегической и прикладной механике. Доклады, книга 1. Болгария, Вариа, 1977.
- 8. Карапетян К. С., Котикян Р. А. Исследование отполнений мер ползучести бетомя при растяжении, сжатии и кручении. Изв. АН СССР, МГТ, 1972, № 5.
- 9. Карапетян К. С. Полаучесть бетока при высоких напряжениях. Изв. АН АрмССР, сер. физ.-мат., ест. и техи. наук, 1953, т. 6, № 2.
- 10. Карапетян К. С. Влияние размеров образца на усадку и ползучесть бетона. Изв. АН АрмССР, сер. физ.-мат., ест. и техн. наук. 1956, т. 9, № 1.
- 11. Карапетян К. С. Влияние влажности среды на ползучесть бетона. Изв. АН АрмССР, сер. фна.-мат. наук, 1965, т. 18, № 3.
- Карапетян К. С. Влияние анизотролии на ползучести бетоня при сжатии и растажении и эзвисимости от величним напряжения. Докл. АН АрмССР, 1964. т. 39, № 1.

в. н уожкин

ДИНАМИКА ПЬЕЗОКРИСТАЛЛИЧЕСКИХ ПЛАСТИН

Упругое равновесие тонких анизотропных пластии, которые имеют плоскость упругой симметрии, параллельную срединной плоскости, хорошо изучено [1, 8, 16, 19].

Теория пластин с общим карактером упругой анилотропни рассмотрена в работах [3, 20, 22]. В [20, 22] выведены статические уравнения в предположениях при которых справедливы кинематические гипстезы Кирхгофа. В [3] получены уравнения статики и динамики пластии с общим характером неоднородности и упругои анилотропии в предположениях, менее жестких, чем в [20, 22], и указаны некоторые случаи, когда гипотезы Кирхгофа не имеют места.

Упругое равновесие тонких пьезокристаллических пластии, у которых имеется плоскость материальной симметрии, изучено в работах [5, 7, 11—13]. Общии случай материальной анилотронии рассмотрен в работе [14].

Общий подход к исследованию линенных задач магнитоупругости для проводящих пластии и оболочек изложен в монографии [2].

Некоторые задачи динамики пьезокристаллических пластин решены в работах [9, 10] и пьезокерамических пластин — в [17, 18, 21]. Обзор вседедований по этой проблеме сделан и жииге [45].

В предполагаемой работе асимптотический метод, предложенный в работе [6] и обобщенный на пьезоэлектрическую среду [13, 14], применен для изучения среднечастотных установившихся колебаний тонких пьезокристаллических пластин в трехмерной постановке. При этом под средними подразумеваются частоты установившихся колебаний тонкой пластины, которые с уменьшением ее толщины стремятся к некоторым постоянным величинам, отличным от нуля.

1. Рассмотрим в декартовой системе координат x_1, x_2, x_3 пьевокристаллическую пластину постоянной толщины 2^{n} , $|x_2|$ Срединная поверхность пластины заинмает в плоскости x_3 О конечную область S с граничей 1. Материал пластины обладает общей материальной анизотропией.

Уравнения установняшихся колебаний рассматриваемой пластины заиншен так [4, 21]:

$$2^{2}w_{3} + M_{2}y_{3} + e^{-1}\theta_{3}y_{3} = 0, \qquad M_{3}y_{2} + e^{-1}\tilde{\theta}_{3}d_{3} = 0$$
(11)

Термодинамические соотношения, связывающие линейной зависимостью упругие и электрические величины, возьмем в виде [4]

$$A_{11}y_{1} + A_{12}y_{1} + m_{33}d_{3} + l_{33}\cdot_{33}$$

$$i^{-1}\partial_{3}y_{1} + M_{2}w_{3} = A_{21}y_{2} + A_{22}y_{3} + A_{23}d_{3} + A_{12}\cdot_{33}$$

$$M_{1}y_{1} + M_{3}\varphi = A_{31}y_{2} + A_{21}y_{3} + A_{32}d_{4} + A_{11}\cdot_{33}$$

$$i \quad 0 = A_{32}y_{2} + A_{23}y_{3} - n_{33}d_{4} + m_{33}\cdot_{33}$$

$$(1.2)$$

Здесь звездочкой обозначено гранспонирование матрины,

$$A_{11} = \begin{bmatrix} l_{13} l_{23} l_{30} m_{13} m_{23}, & A_{12} = \end{bmatrix} l_{33} l_{34} \end{bmatrix}$$

$$A_{22} = \begin{bmatrix} m_{33} m_{34}, & A_{32} = \begin{bmatrix} m_{13} m_{22} m_{36} & n_{12} = n_{23} \end{bmatrix}$$

$$M_{1} = \begin{bmatrix} \dot{\sigma}_{1} \dot{\sigma}_{2} \end{bmatrix}, & M_{2} = \begin{bmatrix} 0 & 0 & 0 & 0 & 0 \\ 0 & \dot{\sigma}_{2} \dot{\sigma}_{1} & 0 & 0 \end{bmatrix}$$

$$y_{1} = \begin{bmatrix} w_{1} \\ w_{2} \end{bmatrix}, & y_{3} = \begin{bmatrix} \bar{\tau}_{13} \\ \bar{\tau}_{23} \end{bmatrix}, & M_{2} = \begin{bmatrix} 0 & 0 & 0 & 0 & 0 \\ 0 & \dot{\sigma}_{2} & \dot{\sigma}_{1} & 0 & 0 \end{bmatrix}$$

$$A_{21} = \begin{bmatrix} l_{13} l_{24} l_{16} m_{15} m_{25} \\ l_{11} l_{24} l_{16} m_{14} m_{14} \end{bmatrix}$$

$$A_{21} = \begin{bmatrix} l_{11} l_{12} l_{16} m_{14} m_{14} & m_{24} \\ l_{11} l_{22} l_{16} m_{14} m_{14} & m_{22} \\ l_{16} l_{26} l_{26} l_{66} & m_{14} m_{22} \\ l_{16} l_{26} l_{26} l_{66} & m_{14} m_{24} \\ m_{11} m_{12} m_{12} m_{22} & m_{14} m_{22} \\ m_{11} m_{22} m_{26} & n_{12} - n_{22} \end{bmatrix}$$

$$(1.3)$$

Рассмотрим два варианта граничных условий на плоских гранях пластины, физическая сущность которых изложена п работе [21],

$$y_3 = Q_1, d_3 = z_1, z_{33} = q_1, z_3 = \pm 1$$
 (1.4)

$$\varphi = \varphi$$
 , $y_3 = Q$, $x_{33} = q$, $x_4 = \pm 1$ (1.5)

Граничные условия на боковой поверхности пластины пока конкретизировать не будем.

В равенствах (1.1)—(1.5) введены следующие безразмерные величины:

$$\begin{split} x_1 &= a \varepsilon_1, \quad x_2 = a \varepsilon_2, \quad x_3 = h \varepsilon_3, \quad h = a \iota, \quad \partial_{\tau} = \partial_{\tau}^{\tau} \partial^{\xi}_{j} \\ u_1 &= a u \iota_{j}, \quad v = v_0 \varepsilon, \quad t_0 \Omega^{\varepsilon} = a^2 \omega v^{\varepsilon} \\ t_0 &= \tau_0 \delta^{\varepsilon}, \quad v_0 D_j \\ t_{jq} &= t_0 \varepsilon_j^{D}, \quad v_0 m_{sq} = a t_0 g_{jq}, \quad v_0 m_{sq} = a \tau_0 \delta^{\varepsilon}. \end{split}$$

где и с компоненты вектора смещения, $t_{ij}e^{i\omega t}$ компоненты тензора упругих напряжений, ve^{it} — электрический потенциал, D_ie^{it} — компоненты вектора электрического смещения, v_{ij} — материальные постоянные [4]; v_i — удельная плотность материала пластины;

 а напраментр пластины в области S; правительности установиншихся колебаний; t_о и v₀ постоянные, имеющие размерности упрутого напряжения и электрического потенциала соответственно.

2. Материал пластины обладает общей анизотропней. Поэтому при малых эначениях A представим всличину 🔐 гак:

$$Q^{3} = \sum_{n=0}^{N} \lambda^{n} Q_{n,n}^{3} \qquad Q_{n}^{2} \neq 0$$
 (2.1)

Не ограничивая общности, можно предположить, что для функций, вхолящих в условия (1.4), имеют место равенства

$$(Q_{-1}, \sigma_{-1}, q_{-1}) = \sum_{n=0}^{\infty} i^{n+\nu} (Q^{(n)}, \sigma_{-1}, q^{(n)})$$
 (2.2)

Чтобы построить непротиворечивый основной итерационный процесс [6, 13, 14] для задачи (1.1), (1.2), (1.4), необходимо предположить, что всимптотические разложения электроупругих характеристик должны на-

$$y_1, \varphi, y_2 = i^{-1}, \quad w_3, y_2, d_3 = \lambda^{9-1}; \quad z_{33} = \lambda^{6}$$
 (2.3)

Для первых двух приближении ($m=0,\ 1$) этого процесса найдем

$$y_{1}^{(m)} = y^{(m, 0)}(z) + A_{21}y_{2}^{(m-1, 0)}, \quad z = (1, z_{2})$$

$$y_{2}^{(m)} = y_{2}^{(m, 0)} + y_{2}^{(m-1, 0)}$$

$$y_{2}^{(m)} = y_{2}^{(m, 0)} + y_{2}^{(m-1)}$$

$$y_{2}^{(m, 0)} = A_{31}^{-1} (M_{1}^{*} y_{1}^{(m, 0)} + M_{3}^{*} \varphi^{(m, 0)})$$

$$y_{2}^{(m, 1)} = A_{31}^{-1} (M_{1}^{*} A_{21} + M_{3} A_{32}) y_{3}^{(m-1)}$$

$$w_{3}^{(m)} = w^{(m)} + A_{31}y_{3}^{(m)} + \frac{1}{2} (1 - y_{3}^{(m)} - y_{3}^{(m)})$$

$$w_{4}^{(m)} = -\frac{1}{2} \Omega_{0}^{-2} [q^{(m)} - q^{(m)} - M_{3}^{(m)} - Q^{(m-1)} + Q^{(m-1)}]$$

$$-\frac{1}{3} [(\Omega_{0}^{2} M_{2} M_{1} - A_{31}y_{3}^{(m-1)} + M_{2} A_{21}y_{3}^{(m-1, 0)}]$$

$$+\frac{1}{2} (1 - z_{3}^{2}) M_{1}y_{3}^{(m-1)} + \Omega_{0}^{(m-1)} + \Omega_{0}^{(m-1, 0)})$$

$$d_{3}^{(m)} = \frac{1}{2} (\sigma_{4}^{(m-1)} + \sigma_{2}^{(m-1)}) + \frac{1}{2} z_{3} (\sigma_{4}^{(m-1)} - \frac{1}{2} (1 - z_{3}^{2}) M_{1}y_{3}^{(m-1)})$$

$$= \frac{1}{2} \left((Q_1^{(m-1)} + Q_2^{(m-1)}) + A_{11} (\Omega_0^2 y_2^{(m,0)} + \Omega_1 y_2^{(m-1,0)}) \right)$$

$$= \frac{1}{6} \left((A_2 M_1 - \Omega_2^2 A_{11}) y_2^{(m-1,1)} + (A_2 M_2^2 A_2 M_1^2) \right)$$

Система дифференциальных уравнений относительно исизвестных функций и и и (т) и имеет вид

$$M_1 A_{31}^{1} (M_1' y_1^{(m-0)} + M_3' \varphi^{(m,0)}) + 2 \qquad = \qquad (2.5)$$

 $M_i = m_i$ $\frac{1}{2}$ Предположим, что для функций, входящих в условия (1.5), при ма-

$$(\dot{\varphi}_{-}, \mathcal{Q}_{-}, q_{-}) = \sum_{n=0}^{\infty} \lambda^{n+\nu} (\dot{\varphi}_{-}^{(n)}, Q^{(n)}, q^{(n)})$$
 (2.6)

Тогда асимптотические разложения электроупругих характеристик должны начинаться со следующих степеней 4:

лых значениях А справедлины представления

$$y_1, y_2, \dots, y_n = y_1, y_2 = \dots = y_n - \lambda$$
 (2.7)

Для первых двух приближении основного итерационного процесса вадачи (11), (1.2), (1.5) получим

$$d_{3}^{(m-1)}(z) + z_{3} (A_{21}y_{2}^{(m-1)} + A_{23}d_{3}^{(m-1-0)})$$

$$d_{3}^{(m)} = d_{3}^{(n)} - z_{3}M_{22}$$

$$d_{3}^{(m)} = (n_{33} - A_{32}A_{31}^{1}A_{32}^{*})^{-1} \left[A_{32}A_{31}^{-1}M_{1}^{*}y_{1}^{(m)} - \frac{1}{2}(\gamma_{*}^{(m-1)} - \gamma_{*}^{(m-1)}) \right]$$

$$y_{1}^{(m)} = y_{2}^{(m-1)} + z_{3}^{2}y_{2}^{(m-1)}$$

$$y_{2}^{(m)} = A_{31}^{-1} (M_{1}^{*}y_{2}^{(m)} - A_{32}^{*}d_{3}^{(m)})$$

$$y_{3}^{(m-1)} = A_{31}^{-1} [(M_{1}^{*}A_{21} + A_{32}M_{3})y_{2}^{(m)} + M_{1}^{*}A_{23}d_{3}^{(m)})$$

$$w_{3}^{(m)} = w_{3}^{(m)} - (A_{11}y_{2}^{(m)} + m_{32}d_{3}^{(m)})$$

$$- \frac{1}{2}(1 - z_{3}^{2})(A_{11}y_{2}^{(m-1)} - m_{32}M_{3}y_{4}^{(m-1)})$$

$$(2.8)$$

$$\begin{split} \mathbf{w}^{(m-0)} &= -\frac{1}{2}\Omega_{0}^{-1}\left[q^{(m)} - q^{(m)} + M_{1}\left(Q^{(m-1)} + Q^{(m-1)}\right) + 2\Omega_{1}^{2}\mathbf{w}^{(m-1)} + d_{1}\right] \\ &- \frac{1}{3}\left[\binom{(n-1)}{2}M_{1}M_{1} - A_{11}\right]y^{(m-1)} + d_{2}^{2}A_{2}^{2}d^{(m-1)} + d_{2}^{2}A_{2}^{2}d^{(m-1)}\right] \\ &+ \left(m_{1}M_{1} + M_{1}A_{11}\right)y^{(m-1)} + \frac{1}{2}\left(2^{(m-1)} - 2^{(m-1)}\right) - \\ &- \frac{1}{2}\left(1 - \frac{1}{2}\right)\left(A_{1}y^{(m-1)}\right) + \frac{1}{2}\left(Q^{(m-1)} - Q^{(m-1)}\right) + \\ &+ \frac{1}{2}\left(1 - \frac{1}{2}\right)\left[M_{1}y^{(m-1)}\right] + 2^{2}\left(A_{11}y^{(m-1)} - A_{23}^{2}d^{(m-1)}_{3}\right)\right] \\ &+ \frac{1}{2}\left(1 - \frac{1}{2}\right)\left[\frac{1}{2}M_{2}\left(Q^{(m-1)}_{1} + Q^{(m)}_{1}\right) + A_{23}^{2}d^{(m-1)}_{3}\right] \\ &+ \frac{1}{2}\left(1 - \frac{1}{2}\right)\left[\frac{1}{2}M_{2}\left(Q^{(m-1)}_{1} + Q^{(m-1)}_{1}\right) + \\ &+ \frac{Q_{0}^{2}}{2}\left(A_{11}y^{(m-1)}_{1} + A_{12}y^{(m-1)}_{2}\right)\right] - \\ &- \frac{1}{6}\left(\frac{1}{2} - \frac{1}{2}\right)\Omega_{2}\left[\left(2^{(m-1)}_{2} - A_{11}\right)y^{(m-1)}_{2}\right] + \\ &+ \left(m_{32}M_{3} + M_{2}A_{21}\right)y^{(m-1)}_{2} + M_{2}A_{23}d^{(m-1)}_{3}\right] \end{split}$$

Разрешающее уравнение основного процесса будет таким:

$$[M_{1}A_{31}^{-1}M_{1}^{*} - (n_{33} + A_{32}A_{33}^{-1}A_{32}^{*}) - M_{1}A_{2}A_{3}A_{4}A_{4}A_{5}M_{5} + \Omega_{0}^{*}] =$$

$$= -\frac{1}{2}[Q_{1}^{-1}A_{32}^{*}] + 2\Omega_{1}^{2}y_{1}^{(m-1, v)} + \qquad (2.9)$$

$$+ (n_{33} + A_{32}A_{31}^{-1}A_{32})^{-1}M_{1}A_{31}^{-1}A_{32}(\gamma_{+}^{(m-1)} - \gamma_{-}^{(m-1)})]$$

В соотношениях (2.4), (2.5), (2.8), (2.9) ведичины с индексом правны нулю при m < 0.

Из разрешающих уравнении основного итерационного процесса (2.5) и (2.9) видно, что среднечастотная динамика определяется установившичися колебаниями, параллельными плоскости S пластины.

Вспомогательные итерационные процессы [6] для рассматриваемых граничных задач при предположении (2.1) совпадают по виду с аналогич-

ными процессами статики исследуемых пластии и поэтому характеризуют их электроупругое состояние типа пограничного слоя.

3. Рассмотрям свободные колебания тонкой пластины (и 22) явяяющейся У—срезом кварца [4]. Предположим, что на плоских гранях пластины выполняются однородные условии (1.4)

$$\tau_{12} = \tau_{21} - d_1 - \tau_{12} = 0, \quad \xi_1 = -1$$
 (3.1)

а на боковой говерхности задан один из вариантов условий свободного опирания [6] и такие электрические условия:

$$w_1 = v_{11} = d_1 = 0, = 0, 1$$

 $w_1 = w_2 = v_{22} = v = 0, :_{z=0}, c_1 = \frac{1}{h}$

$$(3.2)$$

Исходя на соотношения (2.4) и (2.5) для начального приближения будем иметь

$$w_{1}^{(0)} = \gamma_{1}\cos k_{1}z_{1}\sin k_{2}z_{1}, \quad w_{2}^{(0)} = \gamma_{2}\sin k_{1}z_{1}\cos k_{2}z_{2}, \quad k_{1} = mz_{1}, \quad k_{2} = nz_{2}, \quad k_{1}z_{2}z_{3} + a_{1}z_{2}z_{3} + a_{1}z_{2}z_{3} + a_{2}z_{2}z_{3} + a_{2}z$$

Злесь

$$a_{11} = 2^{2} - a_{00}k_{1}^{2} - (a_{22} + b_{11} - k_{1}^{2}) k_{2}^{2}$$

$$a_{22} = (a_{12} + a_{01} - b_{11}b_{12}\lambda_{1}^{-1}k_{1}^{2}) k_{1}k_{2}$$

$$a_{13} = (b_{11}k_{1}\gamma_{1} + b_{12}k_{1}\gamma_{2}) \lambda_{1}^{-1}, \quad \Delta_{1} = c_{11}k_{1}^{2} + c_{22}k_{2}^{2}$$

$$a_{14} = (a_{12} - b_{12}k_{11}\lambda_{1}^{-1}, \quad a_{22} - b_{13}k_{1}^{-1}) \lambda_{2}^{-1}$$

$$a_{12} = -c l_{12}n_{11}\lambda_{1}^{-1}, \quad a_{24} - l_{26}^{-1}$$

$$b_{11} = l_{22}m_{11}\lambda_{2}, \quad b_{12} = -l_{12}m_{11}\lambda_{2}^{-1}$$

$$(3.4)$$

$$c_{11} = (l_{11}l_{22} - l_{12}^2) \Delta_2^{-1}, \qquad c_{22} = n_1$$

$$\Delta_2 = (l_{11}l_{22} - l_{11}^2) n_{11} + l_{22}m_{11}^2, \quad t_0 = 10^{12} \text{ H Ms}, \quad \tau_1 = 10^{11} \text{ b}$$

Дисперсионное уравнение для исследуемой пластины имеет вид

$$\Omega_{0} - \left[a_{11}k_{1} + a_{22}k_{2} + a_{11}(k_{1} + k_{1}^{2}) + (b_{11}k_{1} + b_{12}k_{2}) \Delta_{1}^{-1}k_{1} \right] \Delta_{1} + \left[(a_{11} + b_{11}\Delta_{1}^{-1}k_{1})k_{1}^{2} + a_{00}k_{2} \right] a_{00}k_{1} + (a_{22} + b_{12}\Delta_{1}^{-1}k_{1}) A_{1} + a_{00}k_{1} + a_{00}k_{2} + a_{00}k_{2} + a_{00}k_{1}^{2} + a_{00}k_{1}^{2}$$

С учетом и без учета связанности упругого и электрического полей оно за-

$$\Omega_{0}^{4} - (0.1266 \, m^{2} - 0.1520 \, n^{2} \varepsilon^{2}) \, \pi^{2} \Omega_{0}^{2} + \\
+ \left[(0.0767 \, m + 0.0499 \, n^{2} \varepsilon^{2}) (0.0499 \, m^{2} + 0.1021 \, n^{2} \varepsilon^{2}) - 0.0036 \, m^{2} n^{2} \varepsilon^{2} \right] = 0 \qquad (3.6)$$

$$\Omega_{0}^{4} - (0.1299 \, m^{2} - 0.1553 \, n^{2} \varepsilon^{2}) \pi^{2} \, \Omega_{0}^{2} + \\
+ \left[(0.0800 \, m^{2} + 0.0499 \, n^{2} \varepsilon^{2}) (0.0499 \, m^{2} + 0.1054 \, n^{2} \varepsilon^{2}) - 0.0036 \, m^{2} n^{2} \varepsilon^{2} \right] \pi^{1} = 0$$

Из соотношений (3.6) следует, что паличие связанности вышеназвлиных волен ведет к уменьшению (до 2% для различных значений в) величии собственных частот свободных колебании рассматриваемой пластины.

Автор считает приятным долгом выразить благодарность члену-корреспонденту АН УССР Л. С. Космодамианскому за неоднократные полезные обсуждения результатов исследований, изложенных в предлагаемой работе.

Институт математики и механики АН УССР

Поступила 3 V 1979

վ. **ը քրժկին

ՊՅԵԶՈԿՐԻՍՏԱԼԱՅԻՆ ՍԱԼԵՐԻ ԳԻՆԱՄԻԿԱՆ

Հաստատուն հաստությամբ բարակ պյեղոկրիստալային սալերի կայուհացված տատանումների համար կատարվել է ասիմպտոտական վերլուծու-Ոլուն։

Ուսումն<mark>ասիրվ</mark>ել է նյուիական անիզոարոպիայի ընդհանուր դեպքը։ Հաստատվել է, որ միջին հահախականության դինաժիկան որոշվում է ստ_եի միջին հարթությանը դուզաներ կայունացված տատանումներով (սիժետրիկ տատանումներով)։

Որպես օրինակ ուսումնասիրվել են րարակ ուղղանկյունաձև սալերի սի-«հարիկ ապատ տատանումները։

DYNAMICS OF PIEZOCRYSTAL PLATES

V. N. LOZKIN

Summary

An asymptotic analysis of stabilized oscillations of a thin piezocrystal plate for moderate frequencies is presented.

ЛИТЕРАТУРА

- 1. Амбарцумян С. А. Теория анивотронных пластин. М., «Наука», 1967.
- Амбардумян С. А., Баздасарян Г. Е., Белубекин М. В. Магинтоупругость тонках оболочек и пластии. М., «Наука», 1977.
- 3. Бердиченский В. Л. Динамические уравнения анидотропных пластин. Докл. АН СССР, 1975, т. 224, № 4.
- Берлинкур Д., Керран Д., Жаффе Г. Пьезовлектрические и пьезомагнитные материалы и их применение в преобразонателях. Физическая акустика, т. 1, А. М., -Мир», 1966.
- 5. Вековищева И. А. Плоская падача теории электроупругости для пъслоэлектрической пластипки. Прикл. механ., 1975, т. 11, в. 2.
- Гольденисйвер А. А. Построение приближенной теории изгиба пластинки методом асимптотического интегрирования уравнении теории упругости ПММ, 1962 т. 26, в. 4.
- 7. Жиров В. Е. Электроупругое ранновесие пьезокерамической плиты, ПММ, 1977. т. 41, в. 6.
- 8. Космоламианский А. С. Папряженное состояние анизотронных сред с отверстивии и полостями. Киев—Донецк. «Вища школа», 1976.
- Космодомивиский А. С., Ложкин В. Н. Динамическия задача для пьезоэлектрического слов. Докл. АН УССР, серия «А», 1975, № 4.
- Космодиминеский А. С., Ложкин В. Н. Квазистатическая задача термоупругоста для апизотронного слоя с учетом пьезо- и пироэлектрических эффектов. Изв. АН АрмССР, Мехапика, 1975. т. 28, № 3.
- 11. Космодамианский А. С., Ломшин В. Н. Обобщенное плоское напряженное составине тонких преворлектрических пластии. Прикл. механ., 1975, т. 11, в. 5.
- 12 Космоламиниский Л. С., Ложкин В. П. Обобщенное плоское плиряженное состояние тонких предорлектрических пластии. Прикл. мечан., 1977, т. 13, к. 10.
- Косноломианский А. С., Ложкин В. Н. Асимитотический анализ влектроу-ругого равнопесия тонкого предослектрического слоя. Прикл. механ., 1978, т. 14, в. 5.
- 14. Космодамианский Л. С., Апжкин В. Н. Электроупругое равиовесне топкого анизотронного слоя с учетом пведодлектрических эффектов. ПММ, 1978, г. 42, п. 4.
- Кудрявуев Б. А. Механика пьезораектрических материалов. Итоги науки и техники. Механика деформируемого твердого тела, 1, 11, М., ВИНИТИ, 1978.
- 16. Лехницкий С. Г. Анизотропные пластинки. М.-А., Гостехтеприздат, 1957.
- Мадорский В. В., Устинов Ю. А. Симметрические колебания пьезоэлектрических пластин. П.зп. АН АрмССР, Механика, 1976, т. 29, № 45.
- Малорский В. В., Устинов Ю. А. Построение системы однородных решений в знализ дисперсионного уравнения антисимметричных колебаний пьевоэлектрической плиты. Журнал прикладной механики и теоретической физики. 1976, № 6.
- 19. Савим Г. Н. Распределение напряжений около отверстий. Киев, «Наукова думка»,
- 20. Седов Л. И. Механика сплошных сред. т. 2. М., Наука ., 1974.
- 21 У штко А. Ф. К геории колебаний пьезокерамических тел. Тепловые наприжения в элементах гоиструкций, Киев. «Наукова думка», 1975. в. 15.
- 22. Шойхет Б. А. Об асимитотически точных уравнениях тонких плит сложной структуры. Прикладиая математька и механика, 1973, т. 37, и. 5,

В. А. ШАЛДЫРВАН

ОБ ОДНОМ ВАРИАНТЕ ПОСТРОЕНИЯ УТОЧНЕННЫХ ТЕОРИЙ ИЗГИБА ТРАНСТРОПНЫХ ПЛИТ

Попытка уточнения теории пластии и оболочек была начати работами Н. А. Кильчевского и 40-х годах (см., например, [1]). Работы Е. Рейссиера [2] стимулировали интерес к этой проблеме. Но особени большое внимание этон проблеме уделяется после ряда работ А. Л. Гольденвейдера [3, 4] и И. И. Воровича [5], в которых содержится анализ области применимости классической теории пластии и оболочек и характера присущей ей погрешности. Кроме того, в этих работах предлагаются эсимяготические методы исследования трехмерных задач упругости.

Наличие обстоятельных обзоров Н. А. Кильченского [6], И. И. Воровича [5, 7]. Л. Айнолы-У. Нигула [8], А. К. Галиньша [9] позволяет не касаться анализа разного рода допущений, обычно используемых при построении уточненных теорий. Отметим только общую идею используемых при этом методов, заключающуюся в предварительном задании некоторых из характеристик напряженно-деформированного состояния консчными рядами

$$u_{i} = \sum_{k=0}^{N} u_{ik}(x) \, z_{ik}(x_{3}), \quad z_{i} = \sum_{k=0}^{M} z_{ijk}(x) \quad (x_{3})$$
$$x = \{x_{1i}, x_{2}\} \in S_{i} \quad i = [-h, h]$$

с последующим определением остальных из трехмерных уравнений теории упругости. Функции 🚛 🕍 как правило, задаются степенями х, или поли вомами Лежандра, а для определения неизвестных функций и. . выволятся дифференциальные уравнения с помощью вариационных принципов или с использованием грехмерных уравнений теории упру-

В данной работе предлагается один на способов получения уточненных теорий изгиба транстропных плит, базирующийся на использовании класса однородных решений.

1. Пусть транстропная плита, в каждой точке которой плоскость наотропии параллельна срединной плоскости S, занимает объем V=S $\times [-h, h]$ (в общем случае S — многосвязная область, ограниченная dS = 0 oS). Имея в виду в последующем изучение конценграции напряжений, остановимся на случае задания изгибных папряжений на боковой поверхности плиты.

Компоненты вектора упругих смещений u_t произвольной точки плиты будем искать в виде

$$u_{1}(\xi, \zeta) = \sum_{k=0}^{N} e^{2k+1} \dot{\sigma}_{1} F_{2k+1}(\xi) + p(\zeta) \dot{\sigma}_{2} \Phi(\xi) + n(\zeta) \dot{\sigma}_{1} \Psi(\xi)$$

$$u_{2}(\xi, \zeta) = \sum_{k=0}^{N} e^{2k+1} \int_{\mathbb{R}^{2k}} e^{-2k+1} (\xi) + p(\zeta) \dot{\sigma}_{1} \Phi(\xi) + n(\zeta) \dot{\sigma}_{2} \Psi(\xi) \qquad (1.1)$$

$$u_{3}(\xi, \zeta) = \sum_{k=0}^{N} \zeta^{2k} F_{2k}(\xi) + q(\zeta) \Psi(\xi)$$

где F_1 , Φ , Ψ и n, p, q — некоторые произвольные функции аргументов $\mathfrak{t} = \{\mathfrak{t}_1, \mathfrak{t}_2\}$ и \mathfrak{t} соответственно, $\mathfrak{t} = x_1/R$, $(\mathfrak{a} = 1, 2)$, $\mathfrak{t} = x_1/R$, $\theta = \hat{\theta}_1/\hat{\theta}_{\mathfrak{t}_2}$, h = h/R, R — радиус наименьшей из окружностей θ s.

Требуя, чтобы выражения (1.1) удовлетворяли системе равновесня и условиям незагруженности торцов плиты, получим [10]

$$F_{0} = -\frac{1}{4}F + 2\mu_{0}is_{0}^{2}D^{2}F, \quad F_{0} = -i\nu_{2}\mu_{3}D^{2}F, \quad F_{3} = -i\epsilon_{0}^{2}\mu_{4}D^{2}F \quad (1.2)$$

$$F_{k}(z) = 0 \quad (k - 4), \quad F_{1} = F, \quad D^{2} = \partial_{1}^{2} + \partial_{2}^{2}, \quad D^{2}D^{2}F = 0$$

$$p(\zeta) = \frac{2}{2\sigma_{0}}\sin\delta_{\delta_{0}}^{2}, \quad D^{2}\Phi - (2P)^{2}\Phi = 0 \quad (1.3)$$

Вид функций n(1), $q(\zeta)$ зависит от физико-механических характеристих материала, именко

$$\left(b_1 = \frac{s_0^2 - v_2}{1 - v}, \quad b_2 = \frac{v_2}{v_z} \frac{1 - v_2 v_z}{1 - v^2}\right)$$

1. Ecan
$$b_1 > 0$$
 in $b_1 - b_2$ to $s_{1/2} = 1$ $b_1 = 1$ $b_1 = 1$ $b_1 = b_2$
$$n(\zeta) = \sum_{j=1}^{n} H_j \sin \gamma s = q(\zeta) = \sum_{j=1}^{n} Q_j \cos \gamma s = q(\zeta)$$

2. Если
$$b_1 > 0$$
 и $b_1^2 = b_2$, то $(s_1 = 1, b_1)$

$$n(1) = H_1 \sin \alpha + H_2 \cos \alpha s_1$$
, $\eta(1) = Q_1 \cos \alpha s_1$, $Q_2 \sin \alpha$ (1.4)

3. Если
$$b_1 < 0$$
 и $b_1 \neq b$. то $|s_1| = 1$ $b_1 = 1$ $b_2 = b_1$

$$n(\zeta) = \sum_{i=1}^{2} H_{i} \operatorname{sh} \gamma s_{i} \zeta_{i} \qquad q(\zeta) = \sum_{i=1}^{n} Q_{i} \operatorname{ch} \gamma s_{i} \zeta \qquad (1.4''')$$

4. Ecan
$$b_1 < 0$$
 in $b_1^* = b_2$, to $(s_1 = | | | |b_1||)$
 $n(\zeta) = H_1 \sinh \zeta s_1 \zeta - H_2^* \cosh \zeta s_1 \zeta, \quad q(\zeta) = Q_1 \cosh \zeta s_1 \zeta \qquad (1.4^{nn})$

При этом функция " удовлетворяет уравнению

$$D^{2}\Psi - (\gamma/r) \cdot \Psi = 0 \tag{1.5}$$

Пределяющие класс однородных решений параметры δ и у являются решениями трансцендентных уравнений. В случае $\theta_i > 0$ ати уравнения можно записать в таком виде:

$$\cos \alpha s_0 = 0, \qquad \gamma = \frac{\pi}{2s_0} (2k - 1), \quad k = 1, 2, ...$$
 (1.6)

$$3\sin 2\pi \gamma - a \sin 2\beta \gamma = 0 \quad (b_1^2 - b_2) \tag{1.7a}$$

$$2s_{11} - \sin 2s_{11} = 0 \quad (b_1 = b_n) \tag{1.7b}$$

$$\cos \sin 2\gamma - \sin \omega (1 - 0) \quad (b_1^2 > b_2) \tag{1.7c}$$

$$(z \pm i\beta = s_{1,2}, \quad \omega = (s_1 - s_1)/2, \quad \Omega = s_1 + s_2$$

Что касается случая $b_1 < 0$, то для него уравнения получаются из (1.7) формальной заменой s_1 на is_1 .

Тогда, на основании (1.1) с учетом (1.2)—(1.5) и в силу обобщенного закона Гука [11], получим выражения для напряжений

$$z_{xx} = \frac{1+v}{1-v} \zeta D^{2}F + e(\zeta) \Psi, \quad z_{xx} = t(\zeta) \Psi$$

$$= -4 \frac{\partial^{2}}{\partial z^{2}} \left[-\zeta^{3} \frac{i(2s_{0}^{2} - 1)}{6(1-v)} D^{2}F + ip(\zeta) \Phi + n(\zeta) \Psi \right]$$

$$= -4 \frac{\partial^{2}}{\partial z^{2}} \left[-\frac{i(1-\zeta^{2})}{6(1-v)} D^{2}F - ig(\zeta) \Phi + r(\zeta) \Psi \right]$$

$$= -4 \frac{\partial^{2}}{\partial z^{2}} \left[-\frac{i(1-\zeta^{2})}{1-v} D^{2}F - ig(\zeta) \Phi + r(\zeta) \Psi \right]$$

$$= -4 \frac{\partial^{2}}{\partial z^{2}} \left[-\frac{i(1-\zeta^{2})}{1-v} D^{2}F - ig(\zeta) \Phi + r(\zeta) \Psi \right]$$

$$= -4 \frac{\partial^{2}}{\partial z^{2}} \left[-\frac{i(1-\zeta^{2})}{1-v} D^{2}F - ig(\zeta) \Phi + r(\zeta) \Psi \right]$$

$$= -4 \frac{\partial^{2}}{\partial z^{2}} \left[-\frac{i(1-\zeta^{2})}{1-v} D^{2}F - ig(\zeta) \Phi + r(\zeta) \Psi \right]$$

Злесь

$$z = \varsigma + i\gamma_{0}, \quad g(\zeta) = -(2is_{0})^{-1}p(\zeta) = -(is_{0})^{-1}\cos s$$

$$e(\zeta) = 2s(\zeta) + (\gamma/\iota)^{2}n(\zeta), \quad s(\zeta) = A_{12}(\gamma/\iota)^{2}n(\zeta) + \frac{1}{-}A_{13}q'(\zeta)$$

$$r(\zeta) = \frac{1}{2s_{0}^{2}} \left[q(\zeta) + \frac{1}{-}n(\zeta) \right]$$

$$t(\zeta) = A_{13}(\gamma/\iota)^{2}n(\zeta) + \frac{1}{-}A_{14}q'(\zeta)$$

Кории уравнения (1.6) вещественные и группируются по два с одинаковым модулем. Уравнения (1.7) имеют нулевой корень и счетное множество комплексных, которые группируются по четыре с равным модулем. Кроме того, уравнение (1.7с) имеет счетное множество нещественных корней, которые также расположены симметрично относительно нуля.

Для формулировки уточненных теории изгиба транстропных плит бужем пользоваться разложением компонента вектора смещений п ряды по однородным решениям, ограничиваясь тем или иным количеством указанных корпей. При этом получается следующая последовательность уточненных теорий.

2. Ограничиваясь первыми корнями уравнений (1.6) и (1.7) =0 и $a=\frac{\pi}{2}$) получим разрешающую систему первого приближения

$$D^{2}D^{2}F = 0, \qquad D^{2}\Phi - \frac{\pi^{2}}{4r^{2}c^{2}}\Phi = 0$$
 (2.1)

Следовательно, и указанном приближении получаем теорию С. А. Амбарцумяна [12], если вместо числа в подставить Г 10. Последнее обстоятельство бусловлено аданием лакона риспределения напряжений по толцине плиты в цитируемой работе.

Общин порядох разрешающей системы равен D^6 , поэтому необходимо ставить из три граничных условия на каждом краю плиты

Обозначим через $M^{n}(s) = s_{n}$) изгибающие и крутищие моменты и N — перерезывающие силы, а через $M_{n}^{(s)}$, Λ^{n} (n > 1) их снерхстатические характеристики (полимоменты и полисилы). Указанные характеристики определим следующим образом [13]:

$$M_{i}^{(n)} = \int_{-1}^{1} (2.2)$$

Силовые краевые условия на границе плиты дS выраженные с помощью сверхстатических характеристик, имеют следующий вид [14]:

$$M^{1n} n_{1} + M^{1n} n_{2} = \int_{-1}^{1} dt$$

$$N^{1n} n_{2} + N^{2n} n_{2} = \int_{1}^{1} dt$$
(2.3)

$$M_{i_1}^{(n)} n_i + M_{i_2}^{(n)} n_i = -$$

(n = 0, 1, 2,...)

где $(q_n$, q_{n+1} q_n) просидия внешней нагрузки, придоженной к поверхности Q_n

В рамках первого (амбарцумяновского») приближения краевым условиям соответствуют только статические характеристики распределения напряжений (п = 0) На основе соотношений (2.2) моменты и перерезыпающие силы, стапрески вквивалентные напряжениям (1.8), равны

$$M_{vv}^{(0)} + M_{c}^{(0)} = \frac{2}{3} \frac{1 - v}{1 - v} \operatorname{Re} z (z), \quad N = + \frac{8i}{i\pi s_{0}^{2}} \frac{dv}{dz}$$

$$M_{vv}^{(0)} - M_{cc}^{(0)} + 2iM_{cc}^{(0)} = -\frac{4}{3} \left[z z^{2} (z) + \psi'(z) \right] - \frac{8i^{2} (2s_{0}^{2} - v_{c})}{15 (1 - v)} z'''(z) + \frac{128 i i f dv}{4}$$
(2.4)

гае $\varphi(z)$, $\psi(z)$ — комплексные потенциалы Колосона-Мусхелишинан.

Выпишем теперь выражения $M^{(i)}$, $N^{(i)}$ и полярных координатах (a, $\beta = r$, 0)

$$M_{r0}^{(0)} = \frac{1}{1 - v} \left[\frac{2}{3} \left(\frac{\partial^{2}}{\partial r^{2}} + \frac{v}{r} \frac{\partial}{\partial r} - \frac{v}{r^{2}} \frac{\partial}{\partial \theta^{2}} \right) F - \frac{2s_{0}^{2} - v_{2}}{15} i^{2} \frac{\partial^{2} \nabla^{2} F}{\partial r^{2}} \right] + \frac{32}{\pi^{3}} \frac{\partial}{\partial r} \left(\frac{1}{r} \frac{\partial \Phi}{\partial \theta} \right) + \frac{32}{\pi^{3}} \frac{\partial}{\partial r} \left(\frac{1}{r} \frac{\partial \Phi}{\partial \theta} \right) - \frac{1}{15} i^{2} \frac{2s_{0}^{2} - v_{2}}{1 - v} \frac{\partial}{\partial r} \left(\frac{1}{r} \frac{\partial \nabla^{2} F}{\partial \theta} \right) + \frac{16}{\pi^{3}} \left(\frac{e^{2} \Phi}{4h^{2} s_{0}^{2}} - 2 \frac{\partial^{2} \Phi}{\partial r^{2}} \right)$$

$$M_{1}^{(0)} = \frac{2h}{3(1 - v)} \frac{1}{r} \frac{\partial \nabla^{2} F}{\partial \theta} - \frac{4}{r} \frac{\partial \Phi}{\partial r}$$

$$M_{2}^{(0)} = \frac{2h}{3(1 - v)} \frac{\partial}{\partial r} - \frac{4}{r^{2} s_{0}^{2}} \frac{1}{r} \frac{\partial \Phi}{\partial \theta}$$

$$M_{3}^{(0)} = \frac{2}{3(1 - v)} \left(v \frac{\partial}{\partial r^{2}} - \frac{1}{r} \frac{\partial}{\partial r} + \frac{1}{r^{2}} \frac{\partial^{2}}{\partial \theta^{2}} \right) F + \frac{r^{2} (2s_{0}^{2} - v^{2})}{15(1 - v)} \frac{\partial}{\partial r^{2}} - \frac{32}{r^{2}} \frac{\partial}{\partial r} \left(\frac{1}{r} \frac{\partial \Phi}{\partial \theta} \right)$$

Сравнивая эти выражения с аналогичными, приведенными в [15], видим, что они отличаются ковффициентами. Причина здесь та, которая отмечалась при сравнении разрешающих систем.

Таким образом, краеная задача в такой постановке соответствует иторому варианту теории С. А. Амбарцумяна. Различие стоит в коэффициентах и в формулах, по которым вычисляются напряжения, после того как будут найдены разрешающие функции.

Отметим, что устремляя $v_1 \rightarrow v_2$, $E_4 = E$, $G_4 \rightarrow G$, получим формулы рейсснеровского приближения для изотропных плит, приведенные и [14].

3. Для построения теории следующего приближения необходимо взять по два различных по модулю корня в каждом трансцендентном уравнении. Тогда разрешающая система этого приближения имеет вид

$$D^{2}D^{2}F = 0 D^{2}\Phi_{1} - \frac{\sigma^{2}}{4} \Phi_{1} = 0, D^{2}\Phi_{2} \frac{\Phi_{2}^{2}}{4} \Phi_{2} = 0$$

$$D^{2}\Psi^{2} - \left(\frac{z_{1-1}}{2}\right)^{2}\Psi = 0, D^{2}\overline{\Psi} - \left(\frac{z_{1}-z_{2}}{2}\right)^{2}\overline{\Psi} = 0 (3.1)$$

$$(z_{1} = z_{1} + z_{2})$$

Из формул (1.8) в этом случае имеем

$$\begin{aligned}
z_{ij}^{(2)} + z_{ij}^{(2)} &= 4 \cdot \frac{1 + \sqrt{2}}{1 - \sqrt{2}} \operatorname{Re} \varphi'(z) + 2 \operatorname{Re} e(z) \Psi \\
z_{ij}^{(2)} &= -2 \cdot \left[\overline{z}_{i}''(z) + \varphi'(z) \right] + 8 i^{2} a_{i} \varphi''(z) \\
&= 4 i \sum_{i} p_{k}(z) \frac{\partial^{2} \Phi_{k}}{\partial z^{2}} + 8 \operatorname{Re} n(z) \frac{\partial^{2} \Phi}{\partial z^{2}} \\
&= -2 \cdot \left[z_{ij}^{(2)} - i z_{ij}^{(2)} - \frac{4 i (1 - \zeta^{2})}{1 - i z_{ij}^{(2)}} \varphi'' - 2 i \sum_{i} a_{k}(z) \frac{\partial \Phi_{k}}{\partial z} + 4 \operatorname{Re} r(z) \frac{\partial \Psi}{\partial z} \right]
\end{aligned} (3.2)$$

Порядов системы (3.1) D^{12} , поэтому на границе плиты надо поставить по шесть граничных условии. Силовые краевые условия будут включать как статические, так и сверхстатические характеристики первого порядка, статически эквиналентные напряжениям (3.2).

Аналогичным образом строятся теории более высоких порядков. Так на следующем шаге порядок разрешающей системы будет D^{18} , затем D^{24} и т. д. Силовые краевые условия будут наложены соответственно на сверхстатические характеристики до второго, третьего и т. д. порядка включительно.

Проиллюстрируем применение предлагаемого варианта второго порядка на задаче о концентрации напряжений в неограниченной плите на транстроиного материала. Плита ослаблена поперечной полостью, ограниченной круговой цилиндрической поверхностью Ω . Для простоты будем считать, что поверхность Ω загружена нормальными изгибающими усилиями, изменяющимися только вдоль образующей, го есть

$$z_{rr}|_{0} = P/(1), \quad z_{rr}|_{0} = 0$$

В атом случае задача будет осесимметричной, поэтому функции $(j=1,\,2)$ обращаются в нуль. При r=1 имеют место следующие граничные условия на контуре отверстия:

$$M_{rr}^{(j)} = P \int_{-1}^{1} f(\zeta) \zeta^{2j+1} d\zeta, \qquad N_r^{(j)} = 0 \qquad (j = 0, 1)$$
 (3.3)

В волярной системе координат статические характеристики напряженното состояния имеют вид

$$M_{cr}^{(0)} = \frac{2}{3(1-r)} \left(\frac{dF}{dr^2} + \frac{1}{r} \frac{dF}{dr} \right) + 2 \operatorname{Re} \left(a_1 \Psi + b_1 \frac{d^3 \Psi}{dr^2} \right)$$

$$M_{60}^{(0)} = \frac{2}{3(1-r)} \left(r \frac{dF}{dr^2} + \frac{1}{r} \frac{dF}{dr} \right) + 2 \operatorname{Re} \left(a_1 \Psi + b_1 \frac{1}{r} \frac{d\Psi}{dr} \right)$$

$$N_r^{(0)} = 2 \operatorname{Re} d_0 \frac{d\Psi}{dr} \quad N_r^{(0)} = 2 \operatorname{Re} c_0 \Psi$$
(3.4)

Здесь

$$\begin{pmatrix} a_{2-1} \\ \end{pmatrix} = \int_{-\pi}^{1} \frac{s(\zeta)}{\pi} \zeta^{2j-1} d\zeta,$$

$$\int_{-\pi}^{1} f(\zeta) \zeta^{2j-1} d\zeta$$

Решение уравнений (3.1), удовлетворяющее условиям на бесконечности, будем искать в виде

$$F(r) = X \ln r, \quad \Psi(r) = ZK_0(r_{11}(r)) K_0(r_{12}(r))$$
 (3.5)

гле К. - функцыя Макдональда.

Из граничных условии (3.3) получаем систему для определения произвольных постоянных X, Z

$$X - 3\operatorname{Re}\left[a_{1} + (\gamma_{1}h)^{2} b_{3} - b_{3}P_{0}\left(\gamma_{1}h\right)\right]Z = -3p \int_{-1}^{1} f(1) d1$$

$$X - 5\operatorname{Re}\left[a_{3} + (\gamma_{1}h)^{2} b_{3} - b_{3}P_{0}\left(\gamma_{1}h\right)\right]Z = -5p \int_{-1}^{1} f(1) d1 \qquad (3.6)$$

$$\operatorname{Re} d_{3}P_{0}\left(\gamma_{1}I_{1}\right)Z=0, \qquad P_{0}\left(\gamma_{1}I_{1}\right)=-\left(\gamma_{1}I_{1}\right)K_{1}\left(\gamma_{1}I_{1}\right)K_{1}\left(\gamma_{1}I_{1}\right)K_{2}\left(\gamma_{1}I_{1}\right)K_{3}\left(\gamma_{1}I_{1}\right)K_{4}\left(\gamma_{1}I_{1}\right)K_{5}\left(\gamma_{1}I_{$$

Подставляя решения системы (3.6) в выражения (3.4), получаем формулу, по которой обычно вычисляется концептрация напряжений

$$M_{50}^{(0)}(1) = \frac{2}{3}X + 2\operatorname{Re}\left[a_1 - b_1 P_0\left(\gamma_1 f_1\right)\right] Z \tag{3.7}$$

Предложенный процесс построения уточненных теорий изгиба плит. отличающийся достаточной продрачностью, поэволяет без труда получить уравнения задачи. Кроме того, преимущество такого подхода заключается в том, что, как и в трехмерной теории, формулы для вычисления харавтеристик напряженного состояния содержат коэффициенты, вид которых определяется в зависимости от физико-механических постоянных материала плит.

В заключение отметим, что другой подход используется в работах [16-21]. Решение трехмерных задач теории анизотропных пластии осуществляется с помощью итерационных процессов, построенных асимптотическими методами А. Л. Гольденвейзера и И. И. Воровича. В [19—21] на каждом этапе решается бигармоническая проблема для трансверсально-изотропных пластин, аналогичная проблеме Кирхгоффа, но совпидающая с ней в пулевом приближении, и некоторые бесконечные системы линейных алгебраических уравнений. Для удовлетворения граничных условий на цилиндрической части границы применяется вармационный принцип Лагранжа. Теория впутреннего напряженно-деформированного состояния изгибаемых ортотропных пластинок построена в работах [16, 17]. Последнее описывается основным итерационным процессом, эквивалентмым теории Кирхгоффа. В [18] построено полное решение типа погранслоя для прямоугольных пластин.

Донецкий госуниверситет

Поступила 8 VI 1979

վ. Ա. Շաբիրվաչ

ՏՐԱՆՍՏՐՈՊԱՅԻՆ ՄԱԼԵՐԻ ԾՈՒՄԱՆ ՃՇԳՐՏՎԱԾ ՏԵՍՈՒԹՅԱՆ ԿԱՌՈՒՅԱՆ ՄԻ ՎԱՐԿԱԾԻ ՄԱՍԻՆ

lk d ip n ip n i d

Ստացվել են խնդրի լումող նավասարումները, որոնք բնորոշում են փոխադրային սալի լարված դեֆորմացված վիճակը լայնական սահրերի և նորմալ դեֆորմացիաների ու լարումների հաշվառումով։ Այդ հավասարումների հիման վրա կարելի է հաշվի առնել ավելի բուրձր կարգի ծռման էֆեկտները, քան դասական տեսությունում։

Ընդ որում փոխադրային սալերի ծոման մոտավոր տեսությունների կառուցման խնդիրը մեկնարանվում է ինչպես այս կամ այլ թվով մոտավորությունների կառուցման ընթացի համասեռ լուծումների տեսության շրջանակներում։

ON A VARIANT TO CONSTRUCT A MORE PRECISE THEORY FOR TRANSVERSAL ISOTROPIC PLATES

V. A. SHALDYRVAN

Summary

The resolving equations are obtained to describe the stress-strain state of transversal isotropic plates, considiring transversal shear and

effects of the order higher than that of the classic theory. In this case the problem to construct approximate theories for transversal plate bending is treated as a process of obtaining a number of approximations within the theory of homogeneous solutions.

AHTEPATYPA

- Кильчевский Н. А Обобщение сопременной геории оболочек ГІММ, 1939, 2, вып. 4.
- Retistic E. On the theory of bending of clastic plates. J. Math. and Phys., 1944, 23, No. 4.
 - 3. Гольденосбаер Л. Л. К теории ингиба пластинок Рейссиера. Нав. АН СССР, ОТН, 1958, № 4.
 - 4 Гольденвейзгр А. Л. Построение приблименной теории изгиба пластинки методом асимптотического интегрирования уравнений теории упругости. ПММ, 1962, 26, вып. 4
 - Еврепа И И насторы математические вопросы теории пластии и оболочек. В кн.: Тр. 11 Всесоюз, свезда по теор, и прику, механике (1964). Обзорные докл. М., 1966, вып. 3.
 - Кильческий Н. А. Основы аналитической механики оболочек. К., Нах. АП УССР, 1963.
 - 7. Восович И. И. Некоторые результаты и проблемы асимптотической теории пластии и оболочек.— Материалы 1 Всесоюз, школы по теории и числен, методам расчета оболочек и пластии. Тбилиси, 1975.
 - 8. Айноло А., Нагул У Волновые прочессы деформации упрусих длит и обологек. Нав. АН Эст.ССР, 1965, 14. № 1.
 - 9. Галижын А. К. Расчет иластин и оболочен по уточненным теориям. Исследования по теория пластин и оболочен, 1967, вып. 5, 1970, вып. 6.
 - Коснодамианский А. С., Шалдыраан В. А. Толстые многосвязние пластным. К., Наукова думка, 1978.
 - 11. Лехничкий С. Г. Теприя упругости анилотропного гела, М., Наука, 1977
 - 12. Анбарудияя С. А. Теории винаотронных пластии. М., Наука, 1967.
 - Праченов В. К. Применение символического метода к имподу уравнений теории плит. ПММ, 1965, 29, вып. 5.
 - Грудяев Ю. А., Прохолов В. К. К. задаче нагиба толетий плиты. Прикл. механ., 1970, VI, вып. 5.
 - Выск Б. Л. Концентрация напряжений около отверстий при нагибе трансвергально-изогропных пластии. К., Наукона думка, 1977.
 - Азаловян Л. Л. Об уточнении классической теории изгиба аниаотропных пластии.
 Изв. АН АрмССР, сер. физ.-мат. наук, 1965. т. XVIII. № 5.
 - 17. Азаловин Л. А. К теории изгиба ортогропных пластип. Изв. АН СССР, МГТ. 1966, № 6.
 - 18. Англиян Л. А. О погранслое орготронных пластинов. Нав. АН АрмССР, Мехавика, 1973, г. XXVI, № 2.
 - Роменская Г. И., Шлачев М. А. Асимптотический метод решения задачи теории упругости о толстой траничеркально-изотронной плите В кил. Пластины и оболочки. Ростов-ка-Дону, 1971.
 - 20 Роменской Г. И., Шленев М. А. Асимитотический метод решения трехмерных задач о трансверсально изотройной плите. В ки.: Геория оболочек и пластии. А. Судостроение, 1975.
- 21 Шлексо М. А. Асимптотический метод решения задачи об изгибе толстой трансверсально-изотронной плиты. В ки.: Толстые плиты и оболочки. Ростов-на-Дону, 1974.

Սհխանիկա

XXXIII, Nº 2, 1980

Механика

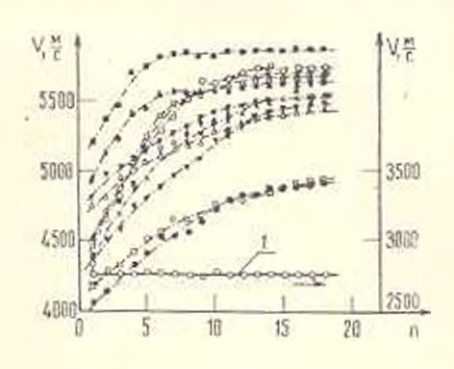
В. П. ЕПИФАНОВ. И. Ю. ВОРОНИНА

КИНЕТИКА РАЗРУШЕНИЯ И ИЗМЕНЕНИЕ АКУСТИЧЕСКИХ ПАРАМЕТРОВ ГРАНИТА ПРИ ОСЕВОМ СЖАТИИ

Получена экспериментальная зависимость скорости распространения ультразвуковых воли от величины осевой нагрузки. Оценен объем матеркала, в котором возникает дефект, и прослежена кинетика процессы разрушения гранита.

Общензвестно применение акустического метода исследования с целью получения информации о физико-механических свойствах вещества [1, 2] и его структурных особенностях [3, 4]. Естественно ожидать, что этот метод позволит составить более полную картину структурных изменений в граните при осевом сжатии.

Для получения воспроизнодимых данных отбирались образцы с близкими по акустическим свойствам характеристиками. С этой целью использовалась следующая методика. Образцы насыщались маслом и по мере насыщения определялась скорость ультразвука, затем масло десорбировалось, а образцы сушились до постоянного веса. Изменение скорости ультразвука (фиг. 1) индивидуально для каждого образца, что может быть связано с различным расположением и величиной микротрещин. По сорбционным кривым можно получить представление о характере грещиновятости образца. Предполагалось, что одинаковым образцам должны соответствовать близкие по характеру сорбционные кривые.



Фиг. 1. Зависимость скорости распространения продольной акустической волым в гропить с. . мс⁻¹ (липия 1—в оргетекле) от времени л. сутки

В работе использовались цилиндрические образцы мелковернистого карельского гранита [5] диаметром 30 мм и высотой около 60 мм. Образцы имели проимущественную ориентацию микротрещин вдоль оси. Это обстоятельство поаволило использовать различия в скоростях распространения звука в безграничной 2, и ограниченной 2, среде

$$\mathbf{r}_{1} = [E(1-\mu)/\mu(1+\mu)(1-2\mu)]^{1/2}; \quad \mathbf{e}_{2} = (E/\mu)^{1/2}$$

где и — коэффициент Пуассона, и — илотность, Е — модуль Юнга.

Выбирались гакие ссотношения днаметра излучателя и образца, для неторых возможен переход от одного гина воли к другому при заполнении прещины более плотной средой.

Перед измерениями на торцевую поверхность образцов наносилось приблизительно одинаковое количество масла типа МВП. Для образцов гранита скорость продольной волны возрастала при заполнении пустот инвтавшимся маслом. Для сравнения измерялась продольная скорость в образце полиметил-метакрилата. Полиметил-метакрилат не содержал трещии и не впитывал масла, поэтому для него скорость ультразвука оставалась постоянной

Для некоторых обранцов насыщение маслом достигалось помещением высляную ванну при температуре 110°С. Десорбция для всех образцов, содержащих масло, осуществлялась в токе насыщенного водяного пара. Зная массу впитавшегося масла, его плотность и объем образца, можно впределить суммарный объем пустот. Расчетная неличина пористости составляет около 1%.

Дополнительную информацию о расположении трещии можно получить из сопоставления величии скорости, направленной плоль v и поперек v образца (табл. 1). В большинстве случаев $v_1 > v$. При осеном аращении образца значение скорости и амплитуда сигнала меняются. Эти факты можно рассматривать как подтверждение анизотропии материала, связанной с преимущественной ориентацией трещии влоль образца.

		Таблица 1
No	VI. AC	Tr., MC
1	5620	5110-5400
2	5700	5400 5490
3	5650	56005980
4	5840	5290-5810
5	568 1	5490-5550
6	5540	5290 - 5370
7	592(1	5990 - 20
8	5160	5100 ± 20

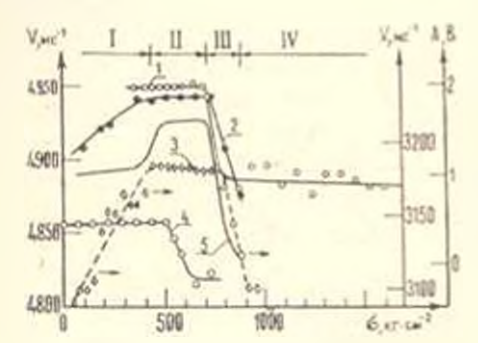
Воличина скорости продольной инустической волны, направленной вдоль с , мс 1 и периондикулярно с , мс 1 оси произвольно выбранных образцов гранита. Для с приводены min и плах вначения, полученные при вращении образца (дт 10 мс 1).

Для нахождения зависимости скорости распространения в акустической водны от ведичины осевой нагрузки о были опробованы два варианта наблюдения. В первом случае водна пропускалась вдоль оси образца, во втором — перпендикулярно ей. Измерения выполнялись по традиционной методике [6]. Образцы гранита, использовавшие я для нахождения в (с.), не содержали масла. В качестве акустической смазки использовался каучук СКН-18, а в отдельных случаях — вазелин. В полученной вкспериментальной зависимости (фиг. 2) можно выделить четыре харак-

терные области изменения скорости от нагрузки. Это области возрастания (1), постоянства (2), уменьшения (3) и нестабильных значений (4) скорости звуковой волны в образце гранита при увеличении нагрузки.

Увеличение скорости с возрастанием нагрузки (линии 2, 3) и участок, почти параллельный оси абсинсс, наблюдались и ранее [7].

Сначала при увеличении оселого сжатия происходит сокращение объема пустот и улучшается контакт отдельных верен гранита друг с другом, что приподит к воврастанию модуля $E = \sigma \sigma/\partial r$, а также к увеличению скорости и уменьшению затухания акустического сигнала на этом участие крипон. Такое объяснение качественно правильно предсказывает изменение пеличины скорости, что подтверждается сопоставлением расчетных и экспериментальных иначении продольной C и сдвиговой v_r скорости.



Онг. 2. Нависимость скирости придольной v_f , mc^{-1} (линии 1, 2, 4) и сдинговой v_s , mc^{-1} (линии 1, 2, 4) и сдинговой исто напряжения mf^* см — 1, 4 — инуволоб дум направлен идоль оси; 2, 3, 5 — поперев образца, 5 — илменение амплитуды A, B-волыт прошедшего сигнала придольной волим от 2, mf см — , f — 1.25 Mf в

Контроль скорости звука для луча, направленного вдоль оси обоазца (линии 1, 4, фиг. 2), выполнялся в разгруженном состоянии. В этих условиях зависимость скорости от величины осевого сжатия не наблюдалась пплоть до значительных напряжений. Этот факт свидетельствует об обратимом характере изменения свойств в первой области.

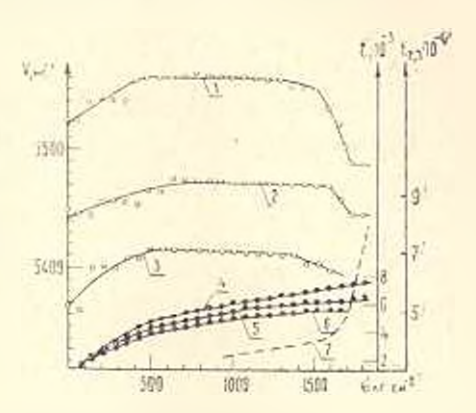
Дальнейшее увеличение нагрузки сопровождается резким умельшением скорости (третья область). Она может заканчиваться «варывом», то есть внезапным разрушением образца, при этом большая часть образца превращалась из монолита в мелкую щебенку (кривая 2, фиг. 2). Возможен, однако, переход в четвертую область (кривые 1, 3, 4, фиг. 2), для которой характерны нестабильные значения скорости и потрескивание образца. Заканчивается ата область разрушением.

Уменьшение скорости (область 3) при увеличении осевого сжатия может быть связано с увеличением числа дефектов и их развитием [8, 9]. В пользу атого предположения свидетельствует экспериментальный факт учеличения коэффициента затухания. Известна работа [10], где найдена зависимость скорости продольной волны от величины внутрениего дефекта, то есть поры. Есть основания предполагать, что и в нашем случае уменьшение скорости от неличиты оксього сжатия связано с возникнопением и развитием дефектов. Поскольку микротрещины ориентируются нараллельно оси наибольшего сжатия и раскрываются в направлении панменьшего сжатия, то увеличение объема при образовании грещии [11] должно вносить существенный вклад в г_{2, 3}.

Сопоставление скорости продольной волим и относительного сжатия от величины приложениой нагрузки приведено на фиг. 3. Кривые 1, 4: 2, 5: 3, 6, 7 соответствуют трем последним циклам нагружения образца перед разрушением. Прослеживается корреляция между относительным сжатием и скоростью распространения продольной волим $\varepsilon = f(\sigma)$.

Фиг. 3. Изменение скорости . .мс

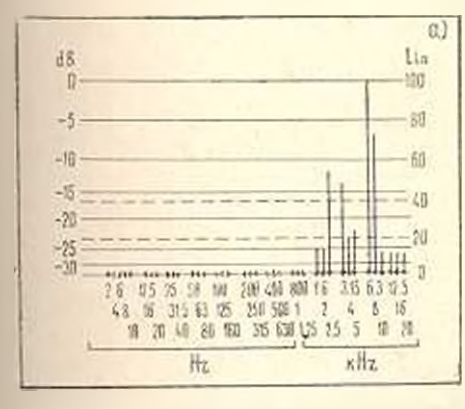
продольной волим (линии 1, 2, 3) и относительной продольной деформации 1, (ливин 4, 5, 6), 3 (линия 7) от пеличины
вормального паприжения .мГ см

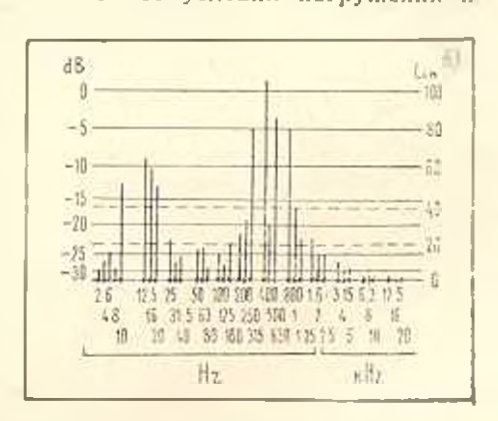


Банзкая к прямолинейной зависимость ε от σ при значительных о дает v = const, то есть участок, нарадлельный оси абсинсе на кривой $v = f(\sigma)$. Можно отметить, что скорость звука чувствительна к изменению состояния образца при сжатии и к остаточным структурным измененям при циклических нагружениях.

По данным акустических измерений и из зависимости $\varepsilon_{1/2}=f(\sigma)$ можно рассчитать модуль Юнга и коэффициент Пуассона. Сравнение значений для любого произвольно выбранного образца дает приемлемое совпадение, например, $E=6.6\cdot 10^{10}~H/\mathrm{M}^2$, $\mu=0.28$.

Как уже отмечалось, непосредственно перед разрушением в материале образца генерируются акустические сигналы. Спектрограмма такого импульса приведена на фиг. 4a. В зависимости от условий нагружения и





Фил. 4. Спектрограмма характерного треска: а — предшествующего разрушенню гранита, б — и момент разрушения.

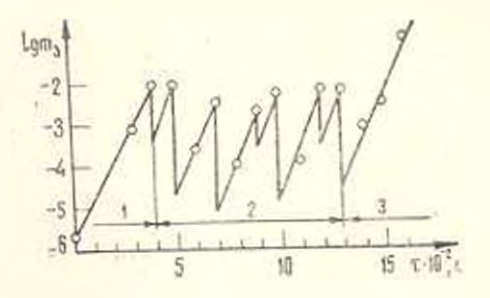
предыстории образца можно наблюдать несколько таких сигналов длительностью 0.04-0.06 сех частотой 6-8 к Γ и. Видимых изменений образ-

на при этом не наблюдается. Аналогичные импульсы при нагружении материала наблюдались и в других материалах [12, 13]

Если генерирование акустических импульсов средой считать подобным излучению элементарного осциллятора [14] с частотой $f=1/2\pi V a/m$, где a — коэффициент упругости, m — масса осциллятора, то можно оценить характерный размер среды, в котором происходит процесс элементарного разрушения.

Полагая для упрощения, что закон Гука оправдывается вилоть до разрушения образца $z=\alpha\cdot \Delta l$, где $\Delta l=$ смещение ($\Delta l=-r_0$) и принимая для ионной решетки $r_0=2A=-10A$. $z=6\cdot 10^{-1}$ дин на связь, определим массу и карактерный объем гранита, в котором генерируются сигналы акустической эмиссии. Соответствующие величины будут иметь значение $m_0=5\cdot 10^{-1}$ и $V_0=6\cdot 10^{-1}$ для σ .

Ва отдельными сигналами акустической эмиссии следует лавиноподобный процесс разрушения материала продолжительностью 008-0.18 сек. Частоты акустических сигналов уменьшается от 6-8 кГи до десятков геру к концу разрушения. Используя модельные представления гармонического осциалятора, можно (фиг. 5) проследить механизм продесса разрушения гранита. Возникшая трещина растет до того момента, когда ее развитие будет ограничено другой трешиной. Однако процесс разрушения на этом не докадизуется. Видимо, в плоскости будущего скола развиваются сразу несколько трещин (в пользу этого предположения свидетельствует наличие в спектрограмме по крайней мере однопременно двух импульсов: высокои и низкой частот (фиг. 46)) и большинство из них заканчивает свой рост на имеющихся в образце микротрещинах. Этот процесс (участок 2) продолжается до тех пор, пока в ечении будущего разрушения не накопится достаточное количество дефектов и не станет возможным развитие магистральной макротрещины (участок 3. фиг. 5),



Фиг. 5. Изменение оффективной массы гранита *m* , с в объеме разрушения от времени 5. с.

Таким образом, исследования зависимостей α, υ = f(σ) позволяют получить информацию о структурных особенностих материала (наличии трещин, пор, их преимущественной ориентации). Это направление можно определить как активный акустический контроль. Во-вторых, анализ спектрограмм сигналов акустической эмиссии до и в процессе разрушения интересен для определения прочностных свойств и кинетики разрушения.

Поактическую ценность оба направления могут иметь для прогнозировавия возникновения критической ситуации в напряженных конструкциях.

Институт проблем механики AH CCCP

Поступпла 5 Х1 1970

Վ. Պ. ԵՊԻՖԱՆՈՎ, Ի. Յու. ՎՈՐՈՆԻՆԱ

գրությունը կիրենքիներ են ԳՐԱՆԵՏԻ ԱԿՈՒՍՏԻՈՍՍԱՆ ՊԱՐԱՄԵՏՐԵՐԻ ՓՈՓՈԽՈՒՄԸ ԱՌԱՆՑՔԱՅԻՆ ՍԵՂՈՄԱՆ ԺԱՄԱՆԱԿ

U. of dendere of

<u>Բերվում են ժանրա աշխավոր գրանիտի նմույների ակուստիկական պա-</u> արևորերի կապակցությունների փորձարարական ուսումնասիրության ար-

Paris մածուցիկությամբ Հեղուկի սորթցիայի և դիսորբցիայի ակուստիական իղոներմերի ավյայներով դնա-Հատվել է ծակոակենունյունը և նմույների ներքիրի լուրահատուկ ցանդու

Ակուստիկական էմիսիայի նշանների սպեկտրոգրաժմաներով դնավատվել է նյունի ծավալը, որում առաջանում է ներություն և նշմարվել է գրանիտի րայրայման ընկայրի հանլագլագ

KINETICS OF FRACTURE AND CHANGE IN ACOUSTIC PARAMETERS OF GRANITE UNDER AXIAL COMPRESSION

V. P. EPIFANOV, I. Y. VORONINA

Summary

The acoustic parameters dependence on the value of compression is investigated on the basis of uniaxial compression tests of fine grained granite specimens.

Porosity of samples and their characteristic network of cracks are evaluated from the data of acoustic isotherms of sorption and desorption of a liquid with low viscosity.

The kinetics of fracture is traced and the volume of the material in which the defects arise is estimated from the acoustic emission spectrograms.

AHTEPATYPA

1. Matsushima S. Compressional and shear wave velocities of volcanic rocks and glasses to 900 C at 20 kbar. "High-Pressure Sei and Technol. Proc. 6-th AIRAPT Conf., Boulder, Colo, 1977, Vol. 2", New-York-Lundon, 1979, 216-222.

- 2. Николаовский В. Н.: Лившиц Л. Д., Сизов И. А. Мехенические свойства горных пород. Деформация и разрушение. Сборник серия «Итоги пауки и техники ВИНИТИ», «Механика деформируемого твердого тела», т. 11. М.: 1978, стр. 123—250,
- Трдэлл Р., Эльбаум Ч., Чик Б. Ультразвуковые методы в физике твердого тела. М., «Мир», 1972, стр. 149—180.
- 4. Рикитаке Т. Предсказание землетрясений. М., Мир., 1979, стр. 272-278.
- Справочинк (жадаетр) физических свойств горных пород. Под ред. акад. Н. В. Мельпикова и др., М., «Недра», 1975.
- Мак-Схимин Г. Физическая акустика. Под ред. У. Мэзона, часть А. т. 1, «Мир», 1966, стр. 357—361.
- Matsushima S. Variation of the elastic wave velocities of rocks in the process
 of deformation and fracture under high pressure. Bull. Disas. Prev. Ros. Inst.,
 Kyuto Univ., 1960, 32, 2.
- Schulz C. H. Experimental study of the fracturing process in brittle rock. J. Geophys. Res., 1968, 73, 1447.
- Brace W. F. Current laboratory studies pertaining to carthquake prediction. Toctonophysics, 1968, 6, 75.
- Ranachowski J. Propagation of ultrasonic waves in perces ceramics. Ultrasonics, 1975, Vol. 13, 5, 203-207.
- 11. Brace W. F., Paulding B. W., Scholz C. H. Dilatancy in the fracture of crystalline rocks. J. Geophys. Res., 1966, 71, 3939.
- 12. Mogt K. Study of the clastic shocks caused by the fracture of heterogeneous materials and its relation to earthquake phenomena. Bull. Earthquake Res. I., Univ. Tokyo, 1962, 40, 125.
- Byerles J. D. Frictional characteristics of granite under high confining pressure.
 J. Geophys, Res., 1967, 72, 3639.
- 14. Кореко II. П. Амарфине вещества. АН СССР, М.-А., 1952, стр. 8-9, 212 232.

к. У ОЛЬШЕВСКИН

ОБ ОДНОМ СПОСОБЕ АСИМПТОТИЧЕСКОГО ИССЛЕДОВАНИЯ СТАТИКИ ГИБКИХ СТЕРЖНЕЙ

Система нелинейных уравнений для определения усилии при конечных перемещениях в первоначально прямодиненном стержие кругового поперечного сечения имеет вид [1]

$$q' = -f; \qquad m' = [q, \quad \bar{z}]$$

$$= \{ [z, \quad \bar{z}'] + \alpha T \bar{z}' = m \}$$

$$(1.1)$$

Для определения упругои линии стержия к системе (1.1) следует добавить уравнение N^* . Безразмерные переменные и параметры определяются следующим образом: q = Q(qL) : $m = M(qL^2)^{-1}$ — векторы приводенных сил и моментов в произнольном сечении стержия, $f(q)^{-1}$ вектор распределенной нагрузки, $f(q)^{-1}$ — относительная жесткость на изгиб, $f(q)^{-1}$ — отношение жесткостей на кручение и изгиб, $f(q)^{-1}$ — кривизна хручения осевой линии стержия, $f(q)^{-1}$ — независимая переменная, $f(q)^{-1}$ — длина дуги и полная длина стержия, $f(q)^{-1}$ — характерный параметр распределенной нагрузки, например, погонный вес стержия. Здесь и далее $f(q)^{-1}$, $f(q)^{-1}$ — векторное и скалярное произнедение векторов.

Для нахождения асимптотического решения системы уравнений (1.1) применим один из вариантов метода сращиваемых асимптотических разложений [2]. Суть метода заключается в том, что равномерно пригодное решение для всей области изменения независимой переменной является суммой, состоящей из части, характеризуемой исходной независимой переменной, и части, характеризуемой увеличенной независимой переменной в области краевого эффекта.

Асимптотическое решение, характеризуемое исходной независимой переменной, является при в — 0 решением системы предельных уравнений.

$$q^* = -f; \quad [q, \ \tau] = 0$$
 (1.2)

Система уравнений (1.2) описывает равновесие идеальной гибкой нити в потоке.

$$\vec{z} = \left(\vec{q}_0 - \int_0^1 \vec{f} dt\right) \cdot |\vec{q}|^{-1} \tag{1.3}$$

Уравнение (1.3) непригодно в области краевого эффекта около гочек опирания или действия сосредоточенных сил. Для того, чтобы получить решение, пригодное в области краевого эффекта, введем преобразование $t=\epsilon^{-2}t$. Система уравнений (1.1) примет вид

$$q' = -\varepsilon^{1/2} f$$

$$\{ [\tau_0, \, \tau] + x T \tau \}' = [q, \, \tau]$$
(1.4)

Для линеаризации системы нелинейных урависний (1.4) полагаем, что в области краеного эффекта $= \tau_0 + \tau_s$, где $|q_0|^{-1} -$ эначение единичного вектора касательной к оси идеальной гибкой нити (1.3) в точке опврания стержия t=0, $|\tau_s| < 1$. Систему предельных линеаризопанных уравнений (1.4) при $\varepsilon = 0$ можно привести к следующему уравнению:

$$[\tau_0, \tau_1] = x T^* \tau_0 = [q_0, \tau_0]$$

Умнежим векторно обе части последнего уравнения на °6. Используя формулу двейнего векторного произведения

$$[a, [b, c]] = (a, c)b - (a, b)c$$

получим

$$(\tau_0, \tau_1) \tau_0$$
 $(\tau_0, \tau_1) \tau_0$ $(\tau_0, \tau_2) \tau_0$

После выполнения повторно операции векторного умножения на то запишем

$$[\gamma_0, \gamma_k] = (\gamma_0, \gamma_0)[\gamma_0, \gamma_k] = 0$$
 (1.5)

Решение ураннения (1.5) имеет вид

$$[\cdot_a, \bar{\cdot}_*] = \bar{c}_1 e^{-it} + \bar{c}_2 e^{-it}$$

где $t^* = |q_0|$. Из условия ограниченности вектора τ_0 в области краевого эффекта при $t \to -\infty$ следует $c_2 = 0$. Окончательно имеем

$$\tau = \tau_0 + ce^{-\lambda t} \tag{1.6}$$

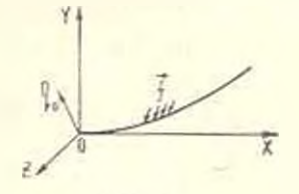
Аналогичные рассуждения можно провести и для области в окрестности другой опоры, введя преобразование $t=1-e^{-t}$. При $t\to\infty$ значение вектора т совпадает со значением вектора т, определяемого урависнием (1.3), при t = 0. Из условия совпадения значений векторов т на граиние области красного эффекта и области, характеризуемой исходной невависимой переменной, следует, что равномерно пригодное решение системы уравнений (1.1) во всен области изменения $t \in [0, 1]$ равно

$$\vec{c} = \vec{c} \cdot e^{-\lambda t} + \vec{c}_2 e^{-\lambda t} + \vec{c}_2 e^{-\lambda t} + \left(\vec{q}_0 - \int_0^t \vec{f} dt \right) |\vec{q}|^{-1}$$
 (1.7)

Применим полученный результат для исследования изгиба стержия при безотрывном поперечном обтекании потоком жидкости. Рассмотрим случай, когда один конец стержия дежит на горизонтальной плоскости и удерживается лишь за счет трения, а второй расположен на значительном удалении от плоскости. Начало неподвижной декартовой системы координат расположим в точке касания провисшего участка стержия с оперной плоскостью. Положим, что часть стержия, лежащая на плоскости, прямолинейна и параллельна оси х. и верхнему концу стержия приложено горизонтальное растягивающее усилие п в направлении оси х. Распределенная нагрупка, действующая на провисшую часть стержня, равна

f = -i - pk, the i, i, k - e виничные орты неподвижной декартовой системы координат.

Отметим, что поскольку даина провисшей части стержия заранее неизвестна, то в качестве характерной длины можно принять расстояние от опорной плоскости до нерхв атижокоп етов от нижерет вином стви выражениях для безрээмерных партметров и переменных L=H.



В точке опирания провисшей части стержия с опорной плоскостью имеем следующие граничные условия; $\tau(0) = i$, m(0) = 0. В области стержия, располаженной около опорной плоскости

$$z = i + yj + zk$$

где |y|, $|z| \ll 1$. Из формулы (1.7) следует

$$z = c_1 e^{-h^{-1}t} + (q_0 - ft) n^{-1}$$

где

$$c_1 = z \quad n \qquad (j + pk)$$

$$c_0 = ni - z^{1/2}n^{-1/2}(j + pk)$$

Значения изгибающего момента определяются по формуле

$$|m| = \frac{1}{n}(1+p^2)^{-1/2}(1-e^{-1/2})$$

Гочность асимптотической формулы (1.7) растет с увеличением ϵ^{-1} и n. Численное решение плоской задачи изгиба стержня ($\rho=0$) по-казало, что при $\epsilon=0.001$ и n=1.7 погрешность асимптотической формулы (1.7) не превышает 5%. При больших значениях ϵ ата же точность достигается увеличением значения n, например, при $\epsilon=0.03,\ n=2.4$.

Киевский филика ВНИИСТа

Поступила 4 VI 1979

Կ. ՈՒ. ՕԼՇԵՎՍԿԻ

աննին ՉՈՂԵՐԻ ՍՏԱՏԻԿԱՅԻ ԱՍԻՄՊՏՈՏԻԿԱՆ ՈՒՍՈՒՄՆԱՍԻՐՈՒԹՅԱՆ ՄԻ ԵՂԱՆԱԿԻ ՄԱՍԻՆ

ik ai den den e d

Վերլուծությունների միածուլման ասիմպտոտական մեքոդի օգնությամբ ուսումնասիրվում է կենտրոնացած ուժերի ազդման շրջանում սահմանային էֆեկտների ադդեցությունը։

Ստացված արդյունջները կիրառվում են Հեղուկի համասեռ հոսանրում գտնվող ձողում ուժերի և մոմենաների որոշման համար։

A METHOD OF ASYMPTOTIC INVESTIGATION OF FLEXIBLE ROD STATICS

K. U. OLSHEVSKY

Summary

To find asymptotic solution of nonlinear equations a method of joined asymptotic expansions is proposed. The uniformly fitting solution obtained for the system of equations may be used to determine force and moments in the rod placed in a homogeneous fluid flow.

AHTEPATYPA

- 1. Попав Е. П Нелинейные задачи статики тонких стержней. Л.—М. Гостехиадат, 1948.
- 2. Вин-Дейк М. Методы возмущений в механихе яндкости. М., «Мир., 1967.

ПИСЬМО В РЕДАКЦИЮ

В мою статью «Плоская задача для тонкого слоя в условиях установившейся пелинейной ползучести», опубликованной в журнале «Известия АН Армянской ССР, Мехапика», 1980 г., т. XXXIII. № 1. прошу внести следующие исправления:

I. Первая из форму» (1.5) должна иметь вид

$$\varepsilon_i = \sqrt{\frac{\varepsilon_{11}^2 - \varepsilon_{12}\varepsilon_{22} + \varepsilon_{22}^2}{3} + \varepsilon_{12}^2} + \varepsilon_{12}^2$$

 Формула, предшествующая формуле (4.9) и стоящая во второй строке на стр. 41, должна иметь вид

$$\psi_{1,2} = 2\varepsilon_{12} = 2A \left[\pi(x_1) \right]^m \operatorname{sgn}(t)$$

3. Формула (4.3) должна иметь вид

$$\pi_{00} = (h - x_0) \pi^*(x_1) + \frac{(h - x_0)^n}{2} f^*(x_1)$$

4. Последняя из формул (4.5) должна иметь вид

$$z_{23} = (h - x_2) z'(x_1) + \frac{v}{1 - z} h \frac{(h - x_2)^2}{2} z'''(x_1) \approx z'(x_1) (h - x_2)$$

М. А. СУМБАТЯН